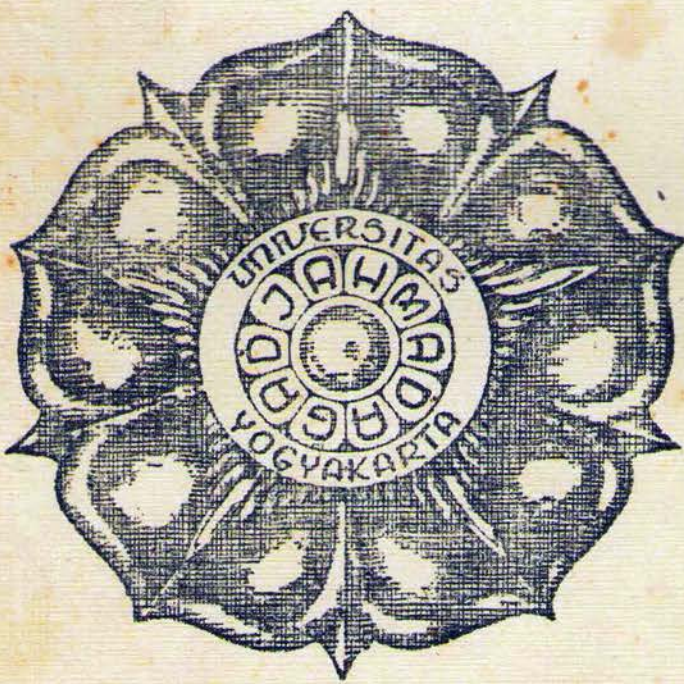


# PENGANGKUTAN SEDIMEN

(SEDIMENT TRANSPORTATION)

SEBUAH CATATAN  
BERDASARKAN KULIAH  
PADA BAGIAN SIPIL  
FAK. TEKNIK — UGM



UNTUK  
KALANGAN SENDIRI



DIUSAHKAN OLEH DEPARTEMEN PENDIDIKAN  
KELUARGA MAHASISWA TEKNIK SIPIL - UGM.

~~7081979~~

9216/782101/7081979.

KATA - PENGANTAR

Dengan rendah hati kami persembahkan kehadapan Andika sebuah catatan tentang " PENGANGKUTAN SEDIMENT ".

Catatan ini kami susun berdasarkan kuliah yang diselenggarakan pada Bagian Sipil Fakultas Teknik Universitas Gadjah Mada.

Pada cetakan kedua kami adakan perbaikan - perbaikan. Meskipun demikian kami menyadari, bahwa dalam cetakan ini mungkin masih terdapat beberapa kekurangan ataupun kelebihan - kesalahan, karena cetakan ini hanyalah disusun dari beberapa catatan rekan - rekan mahasiswa. Juga sempitnya waktu yang tersedia bagi kami berhubung dengan kesibukan - kesibukan ujian. Oleh karena itu kami selalu mengharapkan kritik - kritik atau saran - saran yang akan dapat menyempurnakan catatan ini.

Akhirnya kami mengucapkan diperbanyak terima kasih kepada - rekan - rekan sekalian dan siapa saja yang telah membantu usaha penerbitan ini.-

Cetakan pertama : 25 Februari 1971.

Cetakan kedua : 15 Oktober 1972.

Yogyakarta, 15 Oktober 1972.

Departemen Pendidikan K.M.P.S

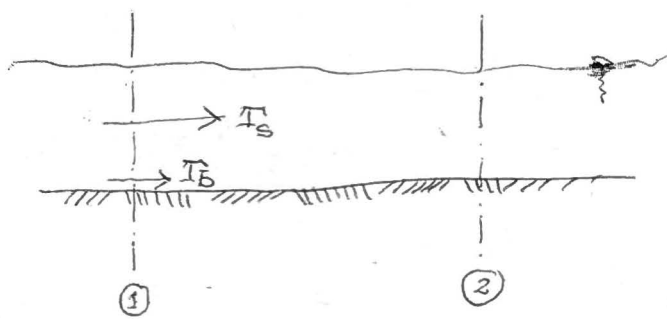
Departemen Pendidikan K.M.T.S.

Periode 1972.

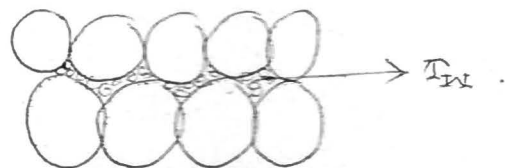
Tolok akhir waktu  $T$  : - berat/det -  
 - volum/det.  
 - massa/det.

MKS → Meter.  
 Kilogram massa  
 Sekon.

• Rolling  
 Jumping }  
 Sliding . } BED LOAD



dihitung →  $T_b$  = bed load  
 diukur →  $T_s$  = suspended load  
 diestimasi →  $T_N$  = wash load }  
 $T_t$  = total load.



TRANSPORTASI  
SEDIMEN (SEDIMENT TRANSPORTATION)

- Jang dipelajari :
- I. Pendahuluan
  - II. Sifat-sifat air
  - III. Sifat-sifat bahan jang diangkut
  - IV. Pergerakan gerak ~~sediment~~/butiran
  - V. Mekanisme ~~sediment~~ transport
  - VI. Saluran stabil
  - VII. ~~hitungan~~ angkutan sedimen
  - VIII. Gerusan (scour) dan pengendapan (silting)
  - IX. Teknik pengambilan sampel (sampling)
  - VIII. Variasi Dasar Sungai

I. PENDAHULUAN

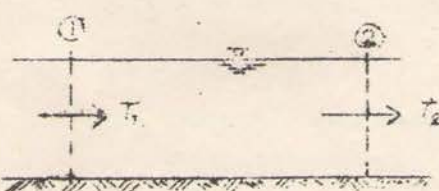
→ pasir, kerikil, batu dsb

Jang akan dipelajari adalah perpindahan tempat bahan sedimen granular (non-cohesive) oleh air jang sedang mengalir. Gerak umum dari bahan adalah searah dengan ariran air. Banjarnya angkutan sedimen yang dinjatakan dengan berat massa, atau volume persatuan waktu dapat ditentukan dari perpindahan tempat netto dari pada bahan jang melalui suatu panjang lintang selama periode waktu jang tukup.

Satuannya  $T$  bisa dalam N/det (Newton) --- sistem Georgi. (MKS)

1 kg (gaja) = 9,78 N.  $T$  disini adalah netto. Kalau massa dalam kg/detik, volume m<sup>3</sup>/detik. Banjarnya angkutan  $T$  dapat diukur atau dihitung. Kedua tajam mempunyai derajat kesamaan jang rendah.

Tujuan pokok pengetahuan "Transportasi Sedimen" adalah guna mengetahui pada keadaan tertentu apakah akan terjadi angkutan seimbang (equilibrium transport), erosi atau pengendapan dan guna normalkan kuantitas jang terangkat dalam proses itu.



- a) Bila  $T_1 < T_2 \rightarrow$  ~~angkutan~~ atau erosi
  - b) Bila  $T_1 = T_2 \rightarrow$  equilibrium
  - c) Bila  $T_1 > T_2 \rightarrow$  pengendapan / deposisi
- $T$  = Transporting capacity

a) juga disebut degradation dan b) disebut aggradation.

Kondisi-kondisi jang menentukan pengangkutan adalah :

1. Sifat-sifat aliran air (hydraulic characteristic)
2. Sifat-sifat sedimen
3. Pengaruhnya timbal balik (inter-~~sediment~~) action

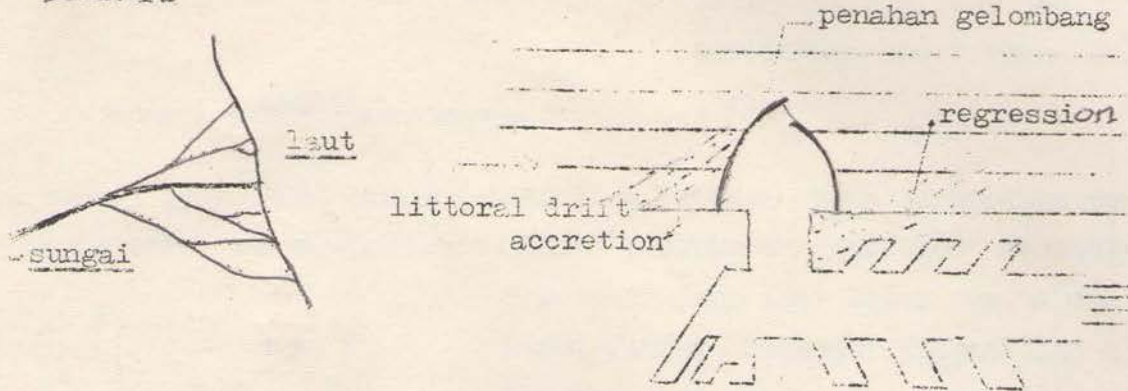
Masalah-2

~~sediment~~ jang berhubungan dengan ~~transportasi~~ sedimen :

(A). Kondisi alamiah.

1. Pengendalian erosi tanah (konservasi tanah)
2. Perkirain angkutan sedimen di sungai-sungai
3. Pembentukan delta
4. Gerak sedimen di estuaries (cabang-sungai dimudahkan)
5. Angkutan sedimen sepanjang pantai (Littoral drift)

## ESTUARY



(B). Gangguan-gangguan keadaan alamnya oleh bangunan-bangunan buatan :

1. Agradasi dan degradasi sebelum dan sesudah bangunan.  
misal pilar jembatan.
2. Pengendapan sedimen dalam waduk-waduk.
3. Pengeluaran sedimen dari pintu-pintu pengambilan pada sungai2
4. Bangunan-bangunan pengendap.
5. Perentjanaan bangunan pelindung terhadap gerusan.
6. Pengendapan lokal pada tempat-tempat tertentu,  
misal : pelabuhan dan sebagainja.

(C). Pengangkutan air :

- perentjanaan saluran-saluran yang stabil.

(D). Pengangkutan sedimen :

- pengangkutan benda-benda padat dalam pipa-pipa dan sebagainja

Ada 2 hal yang penting :

1. Penentuan kuantitas secara keseluruhan dari pada sedimen
2. Penentuan gerak lokal dari pada sedimen

Status hydrolika sedimen pada waktu sekarang untuk sungai umumnya dipandang 2 tjiara pengangkutan : a). suspended load  
b). bed load

Perbandingan antara a). dan b). menunjukkan variasi yang besar, tergantung sifat2 bahannya dan alirannya. Pada "suspended load" partikel bergerak di atas dasar (melajang), dimana berat partikel setjara terus menerus dikompa sir oleh gerak turbulensi air. Pada "bed load" partikel bergerak didasar dengan djalan menggelinding, menggeser atau melompat.

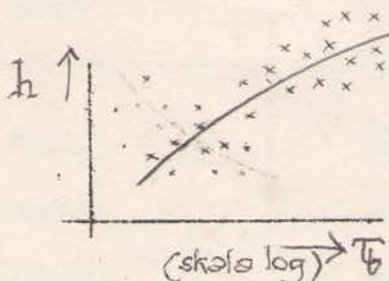
c). Ada lagi wash load; jaitu butiran-butiran yang demikian ketjilnja sehingga berlindung dibelakang bed load.

"Suspended load" dapat diukur setjari wadjar., tapi perhitungan-perhitungan nja mendapatkan kesukaran-kesukaran, sedang bed load dapat dihitung dengan rumus-rumus :

Untuk menghitung  $I_b$   $\rightarrow$  parameter yg penting adalah diameter?

semi - empiris jang didjabarkan dari pertjebaan - pertjebaan dalam laboratorium.

Untuk sungai jang sama, rumus - rumus jang berbeda - beda memberikan penjimpangan jang besar dalam hasil - hasilnya. Hasil pengukuran "bed load" menunjukkan



"scatter" jang luas dalam pengukuran jang berturut - turut. Prosedur pengambilan tjontoh untuk bed - material belum dapat ditentukan dengan memuaskan untuk memperolah data - data jang representatif.

Hal - hal jang masih dalam penelitian :

SELASA 14081979  
02091980

1. Erosi bed - material jang cohesive (lempung)
2. Pengaruh ukuran bed - material jang beraneka ragam
3. Pengaruh adanja sedimen jang halus dalam air atau adanja bahan koloidal dalam air
4. Pengaruh matjam - matjam garis masa debit
5. Gerusan dan pengendapan lokal
6. Stabilisasi sungai - sungai (tebing - tebing dan dasarnya)
7. Tjara - tjara pengambilan tjontoh (sampling)

Untuk mengetahui personalanja setjara lengkap, diperlukan observasi sistematis dari pada proses - proses dalam alam maupun study jang sistematis dibawah kondisi - kondisi jang terkendalikan dalam laboratorium guna dapat dipisahkan pengaruh - pengaruh Jari pada tiap - tiap parameter.

## II. SIFAT - SIFAT AIR

### Dimensi dan satuan

Setiap besaran dapat ditulis dimensinya dengan kombinasi 3 besaran pokok, ialah: massa ( $m$ ), pandjang ( $l$ ) dan waktu ( $t$ ).

Misal: Luas ( $A$ ) :  $l^2$ ; ketjepatan ( $v$ ) :  $l \cdot t^{-1}$ ; pertjepatan ( $a$ ) :  $l \cdot t^{-2}$ ;  
gaja :  $mlt^{-2}$ ; tekanan ( $p$ ) :  $ml^{-1}t^{-2}$ ; debit ( $Q$ ) :  $l^3t^{-1}$   
dan soterusnya.

Selanjutnya kita pakai sistem Georgi (mks) sebagai berikut :

BESARAN	DIMENSI	SATUAN ( UNIT )
massa	m	kg
pandjang	l	meter
waktu	t	detik
gaya	$mlt^{-2}$	$1 N (\text{ewton}) = 1 \text{ kg m/det}^2$
usaha	$ml^2 t^{-2}$	$1 J (\text{oule}) = 1 \text{ N.m}$
tenaga	$ml^2 t^{-2}$	$1 W (\text{att}) = \frac{\text{N} \cdot \text{m}}{\text{detik}}$
daja	$ml^2 t^{-3}$	$1 N / m^2 = 1 \text{ Pascal}$
tekanan	$ml^{-1} t^{-2}$	

Konversi dari satuan teknis ke satuan SI :

	satuan teknis	satuan SI	
daja	1 kg force	g N	$1 \text{ dyne} = 10^{-5} \text{ N}$
usaha	1 kg m	g J	$1 N = 10^6 \text{ dynes}$
tenaga			$g = 9,79 \text{ m/detik}^2$
daja	1 kg m/det	g W	(uk: Indonesia)
	1 HP (=1 DK)	75 g W = 734 W	

### (1) Rapat massa (density).

simbol :  $\rho$

dimensi :  $ml^{-3}$

satuan :  $\text{kg/m}^3$  atau slug/ $\text{ft}^3$

$$1 \text{ slug} = 14,6 \text{ kg (massa)}$$

$$1 \text{ foot} = 0,305 \text{ m}$$

$$1 \text{ slug/ft}^3 = 514 \text{ kg/m}^3$$

Rapat massa  $\rho$  adalah suatu fungsi dari pada suhu, untuk keperluan teknik bangunan air variasinya  $\approx 1\%$ .

Untuk keperluan teknik :

$$(4^\circ\text{C}) \rho_{\text{air murni}} = 1000 \text{ kg/m}^3 = 1,04 \text{ slug/ft}^3 - \rho_w \rightarrow \text{yg dipakai}$$

$$\rho_{\text{air laut}} = 1026 \text{ kg/m}^3 = 1,09 \text{ slug/ft}^3$$

$$\rho_s = 2650 \text{ kg/m}^3$$

$$\Delta = \frac{\rho_s - \rho_w}{\rho_w}$$

= apparent relative density  
(semua)

$\Delta$  kecil  $\rightarrow I_b$  besar

$\Delta$  besar  $\rightarrow I_b$  kecil.

(2) Berat djenis (unit weight ; specific weight)

simbol :  $\gamma \rightarrow \gamma = \rho \cdot g$

dimensi :  $m l^{-2} t^{-2}$

satuan :  $N/m^3$  atau  $lbs/ft^3$

$$g = 9,73 \text{ m/det}^2 = 32,2 \text{ ft/sec}^2$$

(3) Specific gravity

$$\text{simbol : } s \rightarrow s = \frac{\rho}{\rho_w} = \frac{\sigma}{\sigma_w}$$

dimensi : -

satuan : -

$$\rho_w = \rho \text{ air murni} \approx 1000 \text{ kg/m}^3$$

$$\text{Misal : } \rho \text{ pasir kwarts} \approx 2650 \text{ kg/m}^3 \rightarrow s = 2,65.$$

(4) Kekentalan (viscosity)

a). Kekentalan dinamik (absolut) = dynamic viscosity

simbol :  $\mu$  ( $\eta$ )

dimensi :  $ml^{-1} t^{-1}$

satuan :  $N \text{ sec}/m^2 = N \text{ det}/m^2 = N \text{ dot m}^{-2}$

atau poise = dyne sec  $cm^{-2}$  atau  $lbs \text{ sec ft}^{-2}$

$$1 N \text{ det}/m^2 = 10 \text{ poise}; \quad 478 \text{ poise} = 1 \text{ lb sec}/ft^2$$

(poise)

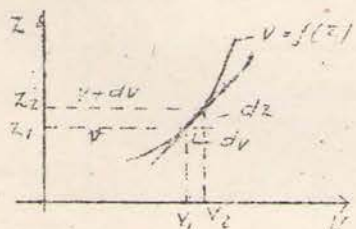
$$\tau = \mu \frac{dv}{ds} \rightarrow \text{rumus ini hanya berlaku untuk pengaliran laminair.}$$

$\tau$  = tegangan geser

$\frac{dv}{dz}$  = gradient ketajaman

$\mu$  = faktor perbandingan

Tujuatan : Hanya berlaku untuk pengaliran laminair



b). Kekentalan kinematik (kinematic viscosity)

simbol :  $\nu$

dimensi :  $l^2 t^{-1}$

satuan :  $m^2 \text{ dot}^{-1}$  atau stokes

$$\text{stokes} = cm^2/\text{det} \text{ atau } ft^2/\text{sec}$$

$$1 m^2/\text{det} = 10^4 \text{ stokes}; \quad 1 ft^2/\text{sec} = 929 \text{ stokes}.$$

$$\nu = \frac{\mu}{\rho}$$

$\nu$  adalah fungsi dari suhu. Pengaruh suhu terhadapnya cukup berarti; untuk keperluan teknik dipakai :

suhu	${}^\circ C$	:	0	10	20	30	
$\nu$ ( $10^{-6} m^2/\text{sec}$ )	:	1,8	1,3	1,0	0,8		

DAFTAR

1. Rapat massa air murni dalam  $\text{kg/m}^3$  sebagai fungsi dari pada suhu dalam  $t^\circ\text{C}$ .

$t$	$\rho$	$t$	$\rho$	$t$	$\rho$	$t$	$\rho$
0	999,8679	10	999,7277	20	998,2323	30	995,6756
2	999,9267	12	999,5247	22	997,7993	32	995,0542
4	1000,0000	14	999,2712	24	997,5256	34	994,3991
6	999,9081	16	998,9701	26	996,8128	36	993,7119
8	999,8762	18	998,6232	28	996,2623	38	992,9956

2. Kekentalan dinamik air dalam  $10^{-2}$  poises sebagai fungsi dari suhu dalam  $t^\circ\text{C}$ .

- jika tanpa pemberitahuan pakai

$$M = 1 \cdot 10^{-6} \frac{\text{det}}{\text{m}}$$

$t$	$\mu$	$t$	$\mu$	$t$	$\mu$	$t$	$\mu$
0	1,7921	10	1,5077	20	1,0050	30	0,8007
2	1,6728	12	1,2363	22	0,9579	32	0,7679
4	1,5674	14	1,1709	24	0,9142	34	0,7371
5	1,5200	15	1,1400	25	0,9000	35	0,7200
6	1,4728	16	1,1111	26	0,8737	36	0,7035
8	1,3860	18	1,0559	28	0,8360	38	0,6814

3. Nilai perbandingan untuk air dan udara

$10^\circ\text{C}$ , Tekanan atmosfer			$60^\circ\text{F}$ , Tekanan atmosfer		
Air	Udara	Satuan	Air	Udara	Satuan
$\rho$	1000	$\text{kg/m}^3$	1,94	0,00237	$\text{slug}/\text{ft}^3$
$\mu$	$1,3 \times 10^{-2}$	poise	$2,3 \times 10^{-5}$	$3,7 \times 10^{-7}$	$\text{lbs sec}/\text{ft}^2$
$\sigma$	$1,3 \times 10^{-6}$	$\text{m}^2/\text{det}$	$1,2 \times 10^{-5}$	$1,6 \times 10^{-4}$	$\text{ft}^2/\text{sec}$

(5) Tegangan permukaan (surface tension)

simbol :  $\sigma$

dimensi :  $\text{N t}^{-2}$

satuan :  $\text{N/m}$

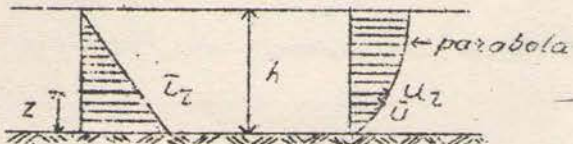
Air/udara  $\sigma = 0,074 \text{ N/m}$  pada tekanan atmosfer

praktis tak dipengaruhi suhu.

Pengaliran Q tetap dan profil tetap  
(stationer) (beraturan)  
(steady) (uniform)

$$\frac{dU}{dt} = 0$$

$$\frac{dU}{dx} = 0$$

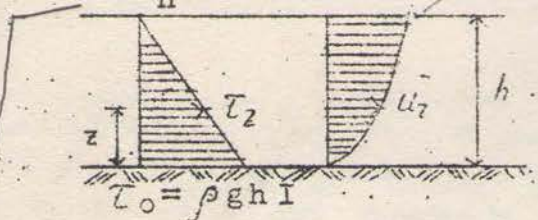


$$U_z = \frac{gI}{2V} \left\{ h^2 - (h-z)^2 \right\}$$

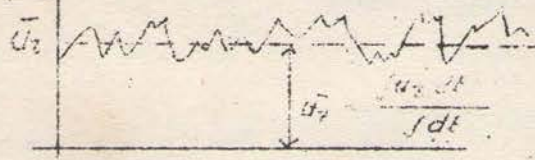
$$= \frac{gI}{V} (hz - \frac{1}{2}z^2) \rightarrow \text{parabola}$$

$$\bar{U} = \frac{gI}{3V} h^2$$

$$T_h = 0$$



$$U_{z1}$$



TURBULEN :

$$\bar{T}_z = (h-z) \rho g I$$

$$\bar{T}_z = \rho I^2 \left( \frac{d\bar{U}}{dz} \cdot \kappa \right)^2 \rightarrow \text{Prandtl}$$

$$l = \kappa z \quad (= \text{mixing length})$$

$\kappa = 0,4$  ( $\kappa = \text{kappa} = \text{constante universal}$   
dari Von Karman)

$$\bar{U}_z = \frac{U_*}{z} \ln \frac{cz}{k}$$

$$U_* = \sqrt{\frac{\bar{T}_0}{\rho_w}} = \sqrt{ghI}$$

( = ketjepatan geser )

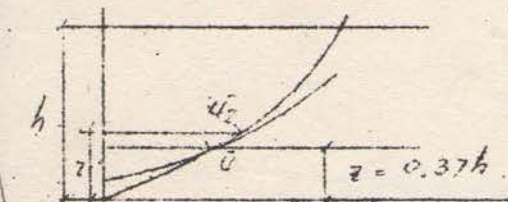
$$\bar{U}_z = \frac{2,3}{0,4} U_* \log \frac{33z}{k} = 5,75 U_* \log \frac{33z}{k}$$

$$z = 0,37 h \rightarrow \bar{U}_z = \bar{U}$$

$$\boxed{\bar{U} = 5,75 U_* \log \frac{12h}{k}}$$

Oleh Colebrook dan White :  $k = 2 \left( a + \frac{\delta}{7} \right)$

$$\rightarrow \bar{U} = 5,75 U_* \log \frac{12h}{2 \left( a + \frac{\delta}{7} \right)}$$



#### Hydraulik litjin

$$a \ll \text{atau } a < \frac{\delta}{3}$$

$$\bar{U} = 5,75 U_* \log \frac{12h}{2 \frac{\delta}{7}}$$

$$= 5,75 U_* \log \frac{6h}{\delta/7}$$

#### Hydraulik besar

$$a \gg \text{atau } a > 3\delta$$

$$\bar{U} = 5,75 U_* \log \frac{12h}{2a}$$

$$= 5,75 U_* \log \frac{6h}{a}$$

Penjabaran:

$$\text{Menurut Prandtl: } \bar{T}_z = \rho_w k^2 \left( \frac{du_z}{dz} \right)^2$$

$$k = \alpha z$$

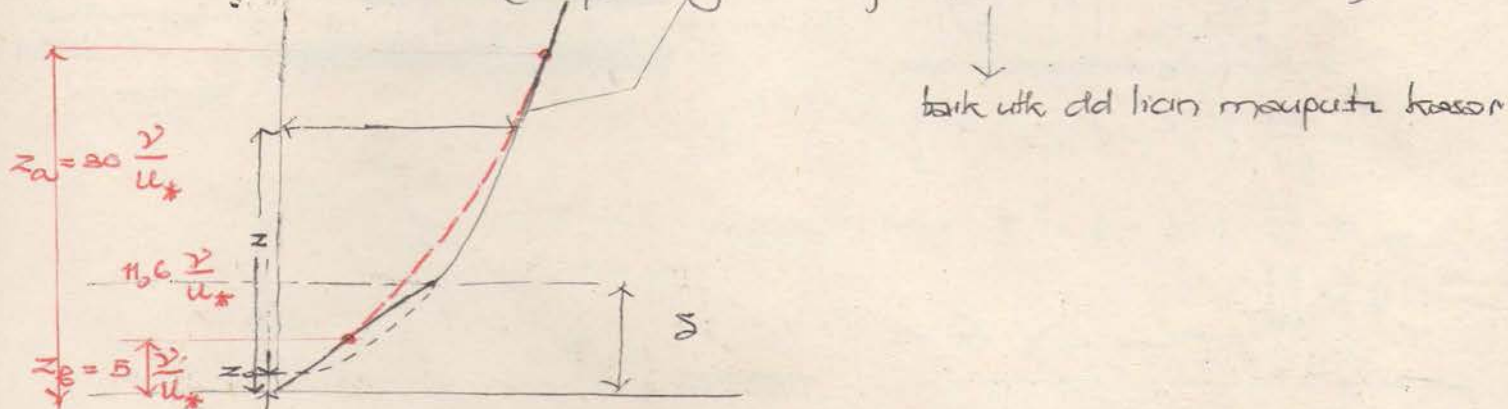
Asumsi: di dekat dasar  $T_z = T_0 = \rho_w g h I$

$$\rho_w g h I = \rho_w \alpha^2 z^2 \left( \frac{du_z}{dz} \right)^2$$

$$\sqrt{ghI} = \alpha z \frac{du_z}{dz}$$

$$du_z = \frac{u_*}{\alpha} \frac{dz}{z} \rightarrow u_z = \frac{u_*}{\alpha} \ln \frac{z}{z_a}$$

(hk pembagian kecep. universal von Karman)



bukt utk dd lain maupun besar

walaupun rumus logaritmik itu diperoleh dr teori. dekat dasar, tetapi eksperiment membuktikan bahwa rumus (I) berlaku utk kedua-kdu (berlaku seluruh kedua-kdu) ktm dijelaskan dr pers. Prandtl utk laminar turbulent, maka rumus tsb tlk berlku utk lepasan batas laminer (berlaku S) dimana gaya viskositas lebih penting stg. pembagian kecep. disitu masih linier. Jadi teorema rumus logaritmik dr lpt. batas laminer hanyalah fiktif belaka.

Mencari pers linier dr gs pembagian kecep. diketahui lpt. batas laminer adalah sbb:  $T_z = \lambda \frac{du_z}{dz}$ ;  $T_0 = \rho_w g h I = \rho_w u_*^2$ .

Asumsi: di lapisan batas laminer  $T_z = T_0 = \text{tetap}$ .

$$\text{sehingga: } du_z = \frac{T_0}{\lambda} dz$$

$$u_z = \frac{T_0}{\lambda} z = \frac{u_*^2}{\mu/\rho} z$$

$$u_z = \left( \frac{u_*}{\nu} \right)^2 z. \quad (\text{linier})$$

$\hookrightarrow$  tetap utk kondisi tertentu.

Adapun drtepi atas lepasan batas laminer besar kecep dpt dhit. sbb:

$$\bar{u}_S = \frac{u_*^2}{\nu} \cdot S \approx \frac{u_*^2}{\nu} \cdot 11,6 \frac{\nu}{u_*} = 11,6 u_*$$

Sesungguhnya drtepi atas S tidak mungkin terjadi perubahan mendadak dr linier ke log.. metantkan terjadi suatu transisi spt digambarkan pd gbr detail dg batas  $z_b = 5 \frac{\nu}{u_*}$  dan batas atas  $z_a = 20 \frac{\nu}{u_*}$

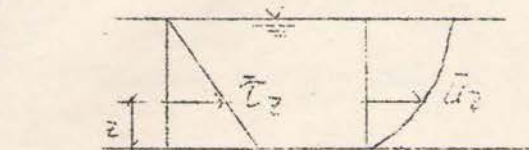
(spt hal 12 bawah)

Chezy :

$$U_* = \sqrt{ghI} \rightarrow \bar{U} = 5,75 \sqrt{g} \log \frac{12h}{2(a+k/7)} \sqrt{hI}$$

Untuk saluran lebar ( $B = \infty$ )  $\rightarrow h = R$

dengan  $C = 5,75 \sqrt{g} \cdot \log \frac{R}{a+k/7} \rightarrow \bar{U} = C \sqrt{RI}$

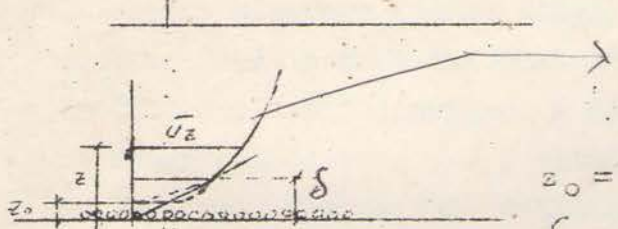


TURBULENT FLOW :

Rumus pokok :  $\bar{U}_z = (h-z) \rho_w g I$

$\bar{U}_z \rightarrow$  rata-rata karena ada fluktuasi.

Prandtl :  $\bar{U}_z = \rho_w l^2 \left( \frac{d\bar{U}_z}{dx} \right)^2$



$z_0 = z$  pada mana  $\bar{U}_z$  menurut (I) adalah nol.

$\delta$  = tebal lapisan laminair (laminair-sublayer)

Untuk hydraulik litjin :

$$z_0 = \frac{\delta}{104} \quad \text{dimana} \quad \delta = \frac{11,6 \nu}{U_*} \quad ; \quad z_0 = \frac{\delta}{400 \approx 104}$$

$$\bar{U}_z = \frac{U_*}{x} \ln \frac{104z}{\delta} \quad (\ln x = 2,3 \log x)$$

$$\therefore \bar{U}_z = 5,75 U_* \log \frac{104z}{\delta} \quad (\text{II})$$

$$\bar{U}_z = \bar{U} \quad (\text{pada } z = 0,4h) \rightarrow \bar{U} = 5,75 U_* \log \frac{42h}{\delta} \quad (\text{III})$$

Untuk hydraulik kasar :

$$z_0 = \frac{1}{30a+35} k_s \quad (\text{dari pertambahan dapat ditunjukkan dengan data-data Nikuradse}) \quad \text{Nikuradse's Sand roughened pipe experiment}$$

$$\bar{U}_z = \frac{U_*}{x} \ln \frac{35z}{k} \quad \bar{U}_z = 5,75 U_* \log \frac{35z}{k} \quad (\text{IV})$$

$$\bar{U}_z = \bar{U} \quad (\text{pada } z = 0,37h) \quad \bar{U} = 5,75 U_* \log \frac{12h}{k} \quad (\text{V})$$

Kedua rumus diatas terakhir (IV dan V) digabung oleh Colebrook dan White.

Rumus (III) ditulis :  $\bar{U} = 5,75 U_* \log \frac{12h}{2\delta/7}$  sehingga untuk hydraulik smooth dan rough berlaku :

$$\bar{U} = 5,75 U_* \log \frac{12h}{k + 2\delta/7} \quad (\text{VI})$$

Mengingat  $U_* = \sqrt{ghI}$  ; rumus (VI) dapat dituliskan :

$$\bar{U} = 5,75 \sqrt{g \cdot \log \frac{12 h}{k + 2 \delta}} \sqrt{h I}$$

$$= 18 \log \frac{12 h}{k + 2 \delta} \sqrt{h I}$$

karena  $\bar{U} = C \sqrt{h I}$  maka :

$$C = 18 \log \frac{12 h}{k + 2 \delta} \quad /7$$

(VII)

Karena  $k = 2a$  dan  $R = h$ , maka

$$C = 18 \log \frac{6 R}{a + \delta} \quad /7$$

(VII a)

Tjatatan :

$\hookrightarrow$  teras hal.  $\Rightarrow$  bag. buah

- Hubungan antara  $C$  dan  $R$ ,  $a$  ( $k$ ),  $\delta$ ,  $R_e$  diberikan dalam grafik H - 5.
- Untuk smooth boundary (batas litjin), jaitu dimana  $a \ll \delta$  karena pengaruh viscositas lebih menentukan dari pada kekasaran dinding, hingga dalam rumus-rumus (VI) dan (VII) dianggap  $k$  dan  $a \approx 0$ .
- Untuk rough boundary  $a \gg \delta$ , karena pengaruh kekasaran dinding lebih menentukan dari pada viscositas, sehingga dalam rumus (VII) dan (VIII) dianggap  $\delta \approx 0$ .

Laminair	Angka Reynold : $R_e = \frac{\bar{U} R}{\nu}$	Turbulen
$R_e < 250$	Saluran terbuka	$R_e > 600$ dihubungkan dengan dalamnya $a$ :
$R_e < 1500$	Pipa	$R_e > 3000$ dihubungkan dengan diameter pipa :
Tidak dipengaruhi kekasaran dinding atau batas, hanya tergantung pada $\nu$		Dipengaruhi oleh kekasaran dinding atau batas

Tjontoh : (dianggap lkada)

- Satu sungai sangat lebar, dalam air 5 meter,  $a = 0,08$  meter landai  $I = 1,5 \times 10^{-4}$ , suhu air  $20^\circ C$ ,  $g = 9,8 \text{ m/det}^2$ . Ditanyakan berapakah ketepatan rata-rata.

Djawab :

Dianggap turbulen sempurna atau hydraulik knsar, sehingga menurut rumus yang sederhana :  $C = 18 \log \frac{6 \cdot 5}{0,08} = 18 \log 6 \cdot 62,5$   
 $= 18 \cdot 2,57 = 46 \text{ m}^{1/2}/\text{detik}$

$B = \infty \rightarrow R = h = 5 \text{ meter. } \bar{U} = C \sqrt{h I}$

$$\bar{U} = 46 \sqrt{5 \cdot 1,5 \cdot 10^{-4}} = 1,26 \text{ m/sec/detik}$$

Kontrolle :  $t_{air} = 20^\circ C \rightarrow \nu = 1 \cdot 10^{-6} \text{ m}^2/\text{det}$  (H-2)

$$Re = \frac{\bar{U} R}{\nu} = \frac{1,26 \cdot 5}{1 \cdot 10^{-6}} = 6,3 \cdot 10^6$$

$$\frac{R}{k} = \frac{5}{0,16} = 31,2$$

grafik H-5 diketahui  
pengaliran hydraulik kasar  
Djadi rumus sederhana acc.

Dikata karena suntu hal diagram tidak ada, maka dikerdjakan sebagai berikut :

$$\delta = \frac{11,6}{U_*} = \frac{11,6 \cdot 1 \cdot 10^{-6}}{\sqrt{9,8 \cdot 5 \cdot 1,5 \cdot 10^{-4}}} = 1,35 \times 10^{-4} \text{ m}$$

$$3\delta = 3 \cdot 1,35 \cdot 10^{-4} = 4,05 \cdot 10^{-4} \rightarrow a > 3\delta (8 \cdot 10^{-2} < 4,05 \cdot 10^{-4})$$

atau  $\delta/7 \approx 2 \cdot 10^{-5} \text{ m} \rightarrow \delta/7$  dapat diabaikan terhadap a  
 $(2 \cdot 10^{-5} < 8 \cdot 10^{-2})$

∴ Hydraulik kasar.

( $U_* = 0,086 \text{ m/detik} \rightarrow$  tak ada arti phisinya)

2. Sebuah pipa berdiameter 1,8 m sangat halus (diaspal)

$$a = 2,25 \cdot 10^{-5} \text{ m}, \bar{U} = 1 \text{ m/det}, \nu = 1,5 \cdot 10^{-6} \text{ m}^2/\text{detik} \dots$$

Berapa kerugian daja akibat geseran tiap km panjang pipa ( $\Delta P/\text{km pipa}$ ) ?

Djawab :  $R = \frac{D}{4} = \frac{1,8}{4} = 0,45 \text{ m} ; \frac{R}{k} = \frac{0,45}{4,5 \cdot 10^{-5}} = 1 \cdot 10^4$

$$Re = \frac{\bar{U} R}{\nu} = \frac{1 \cdot 0,45}{1,5 \cdot 10^{-6}} = 3 \cdot 10^5$$

Dari grafik H-5, ternjata :  $C = 82 \text{ m}^{\frac{1}{2}}/\text{detik}$

$$\rightarrow I = \frac{\bar{U}^2}{C^2 \cdot R} = \frac{1}{82^2 \cdot 0,45}$$

Dari grafik H-5 ternjata, bahwa pengaliran ada didaerah transisi dekat pada hydraulik litjin.

Djadi rumus sederhana :  $C = 18 \log \frac{6R}{a} = 91 \text{ m}^{\frac{1}{2}}/\text{det}$  akan memberikan kerugian daja yang terlalu rendah. Hal tersebut dapat diperhitungkan sebagai berikut :

Dihitung dari rumus lengkap  $\rightarrow C = 18 \log \frac{6R}{a + \delta/7}$

$$= 18 \log \frac{6 \cdot 0,45}{2,25 \cdot 10^{-5} + 5 \cdot 10^{-4}/7}$$

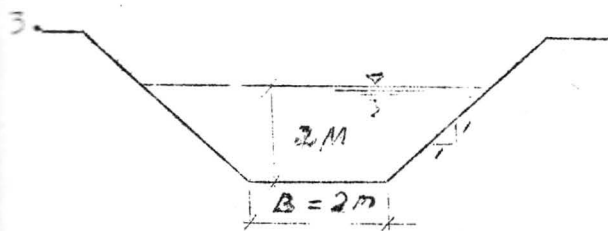
Kesimpulan : Tebal lapisan laminir lebih besar dari a, tapi tak boleh diabaikan karena  $\delta$  dan a dalam orde yang sama.

Untuk menghitung daja hilang perlu debit Q.

$$Q = \frac{1}{4} \pi (1,8)^2 (1) = 2,55 \text{ m}^3/\text{det}$$

$$\Delta P = \rho g Q h_f \rightarrow \Delta P/km = 10^3 \cdot 9,8 \cdot 2,55 \cdot 1000 \cdot 3 \cdot 10^{-4}$$

$$= 7,5 \cdot 10^3 = 7,5 \text{ kW}$$



Saluran dari beton berpenampang seperti pada gambar.

Ket jepatan rata-rata = 0,3 m/detik.

$I = \text{miring} = 10^{-4}$ . Suhu air  $20^\circ \text{C}$ .

Ditanyakan : Berapa a ?

Mungkin hasil a terlalu kecil, hingga penyelesaian permukaan beton menjadi mahal. Hingga dipertimbangkan untuk memperbesar (memperlebar) B. Hitung berapa a ? jika  $B = 2,5 \text{ m}$  dan  $h = 3 \text{ m}$ .

Djawab :

$$\bar{U} = 0,8 \text{ m/detik.}$$

$$I = 10^{-4}.$$

$$J = 1 \cdot 10^{-6} \text{ m}^2/\text{detik.}$$

$$A = (2 + 2) 2 = 8 \text{ m}^2$$

$$P = 2 + 2(2\sqrt{2}) = 7,65 \text{ m}$$

$$R = \frac{A}{P} = \frac{8}{7,65} = 1,04 \text{ m}$$

$$C = \frac{\bar{U}}{\sqrt{RI}} = \frac{0,80}{\sqrt{1,04 \cdot 10^{-4}}} = 73 \text{ m}^{1/2}/\text{det.}$$

$$R_e = \frac{\bar{U} R}{J} = \frac{0,80 \cdot 1,04}{10^{-6}} = 0,83 \cdot 10^6$$

$$k = \frac{1,04}{2200} = 4,7 \cdot 10^{-4} \text{ atau } a = 2,4 \cdot 10^{-4} \text{ m (sangat halus).}$$

Grafik:  $H = 5$

$R/k = 2200$ .

-----> flushed up concrete cement sesuai dengan  $H = 6$  -----> adalah sangat mahal pelaksanaanja.

Ditjoba memperbesar B dengan maksud memperbesar a, dengan pengertian bahwa:  $Q$  dan  $I$  tetap.

Pjataan :

Dalam air  $h$  harus tetap 2 m, tetapi  $\bar{U}$  jang berubah supaja C tetap, djadi djuga a berubah (mendjadi lebih kasar).

Sebab bila diambil A tetap,  $\bar{U}$  akan tetap, sedang perubahan R adalah ketjil, hasilnya C tetap --->  $C = 73 \text{ m}^{1/2}/\text{det.}$

$$\text{a). Maka diambil : } h = 2 \text{ m(tetap)} \quad \left. \begin{array}{l} A = (2,5 + 2) 2 = 9 \text{ m}^2 \\ B = 2,5 \text{ m} \end{array} \right\} P = 2,5 + 2(2\sqrt{2}) = 8,14 \text{ m.}$$

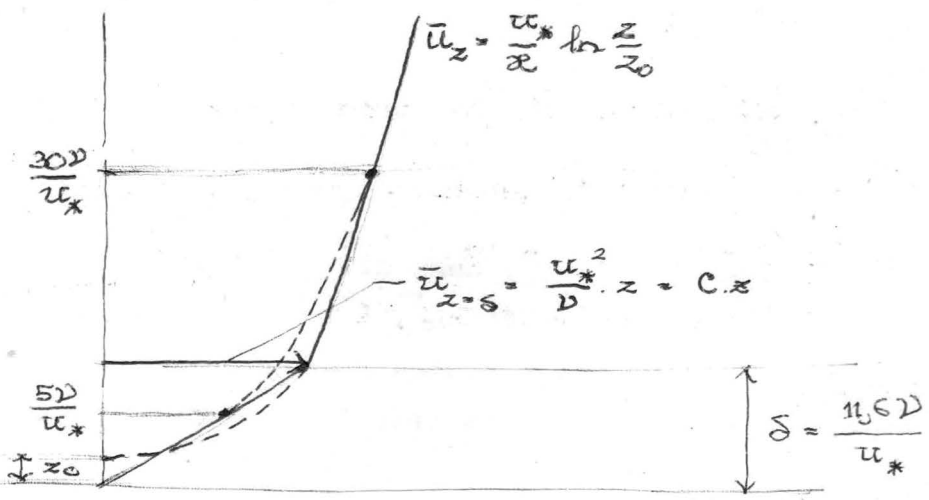
$$R = \frac{A}{P} = \frac{9}{8,14} = 1,10 \text{ m.}$$

$$Q \text{ tetap} = 3 \cdot 0,8 = 6,40 \text{ m}^3/\text{detik.}$$

$$\bar{U} = \frac{6,40}{9} = 0,71 \text{ m/det.} \rightarrow C = \frac{\bar{U}}{\sqrt{RI}} = \frac{0,71}{\sqrt{1,1 \cdot 10^{-4}}} = 68 \text{ m}^{1/2}/\text{det.}$$

$$R_e = \frac{\bar{U} R}{J} = \frac{0,71 \cdot 1,10}{10^{-6}} = 7,8 \cdot 10^5.$$

Dengan :  $H = 5$  --->  $R/k = 600$  ( transisi hydraulik kasar ).



$$k = \frac{1,10}{600} = 1,8 \cdot 10^{-3} \text{ m} \text{ atau } a = 9 \cdot 10^{-4} \text{ m}$$

H - 6 → mendekati unfinished concrete cement

$$\left. \begin{array}{l} \text{b). Diambil } h = 2 \text{ m (tetap)} \\ \quad A = (3+2)2 = 10 \text{ m}^2 \\ \quad B = 3 \text{ m} \end{array} \right\} P = 3 + 2(2\sqrt{2}) = 8,64 \text{ m} \quad \left. \begin{array}{l} R = \frac{10}{8,64} = 1,16 \text{ m} \\ \end{array} \right\}$$

$$\bar{U} = \frac{6,4}{10} = 0,64 \text{ m/detik}$$

$$C = \frac{0,64}{\sqrt{1,16 \cdot 10^{-4}}} = 60 \text{ m}^{\frac{1}{2}}/\text{detik}$$

$$Re = \frac{0,64 \cdot 1,16}{10^{-6}} = 7,4 \cdot 10^5$$

$$k = \frac{1,16}{180} = 6,5 \times 10^{-3} \text{ m} \rightarrow a = 3,25 \cdot 10^{-3} \text{ m}$$

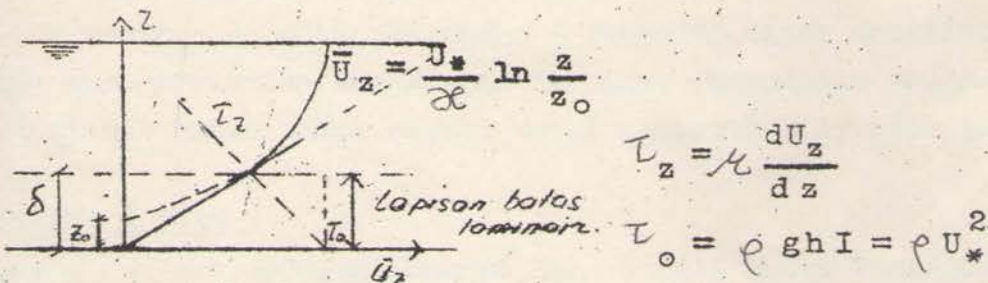
H - 6 : antara unfinished dan old concrete cement .

Tjatatan : Nilai k dapat kita peroleh setjara lebih teliti dengan grafik H - 5, dari mana dapat diketahui bahwa sifat pengaliran adalah hydraulik kasar ( grafik C mendatar )

Hydraulik kasar → simple formula :  $C = 18 \log \frac{6R}{a}$

$$\rightarrow a = 3,25 \cdot 10^{-3} \text{ m.} \quad \boxed{\text{MF III}}$$

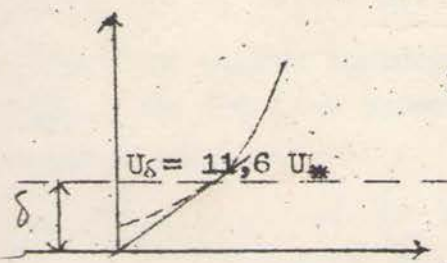
Lekasaran dinding/batas . Roughness Boundary



Anggapan : di lapisan batas laminair  $\tau_z = \tau_o$

$$\tau_z = \mu \frac{dU_z}{dz} \rightarrow dU_z = \frac{\tau_o}{\mu} dz \rightarrow$$

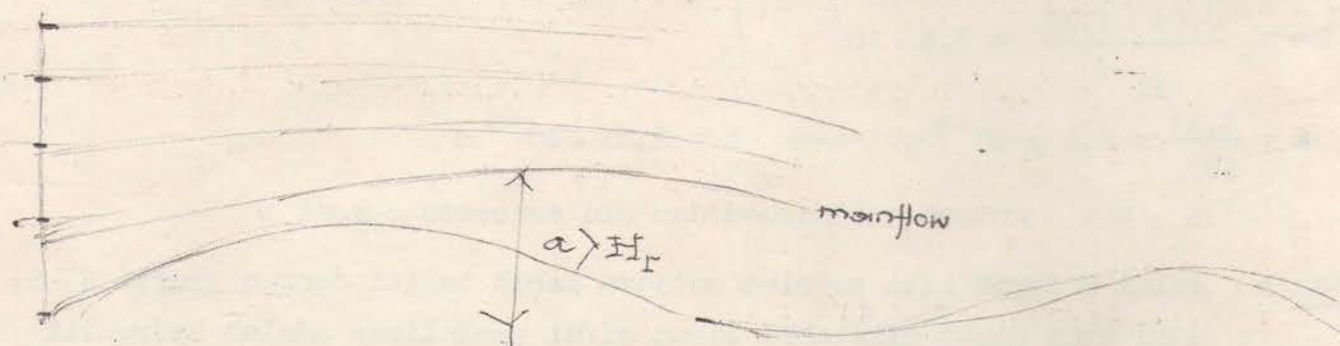
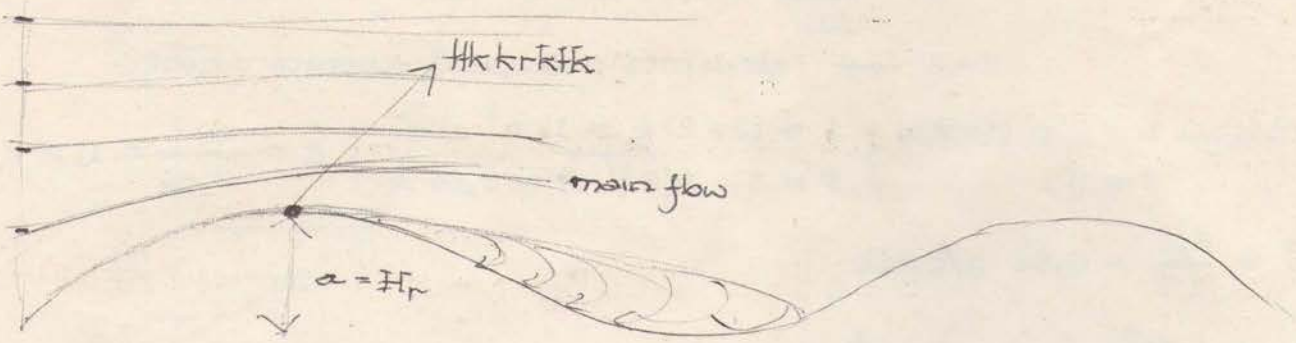
$$\boxed{U_z = \frac{\tau_o}{\mu} \int dz = \frac{\tau_o}{\mu} z = \frac{\rho U_*^2}{\mu} z = \frac{U_*^2}{V} z}$$



Dititik perpotongan :  $\delta = \frac{11,6 V}{U_*}$

$$\text{maka } \bar{U}_z \text{ untuk } z = \delta \\ \text{atau } \bar{U}_\delta = \frac{U_*^2 \delta}{V} = \frac{U_*^2}{V} \cdot \frac{11,6 V}{U_*} = 11,6 U_*$$

$$\bar{U} = C \sqrt{RI} \rightarrow C = f(R/5, R/k) = f(R/5, R/a) . \quad (\text{H - 5})$$

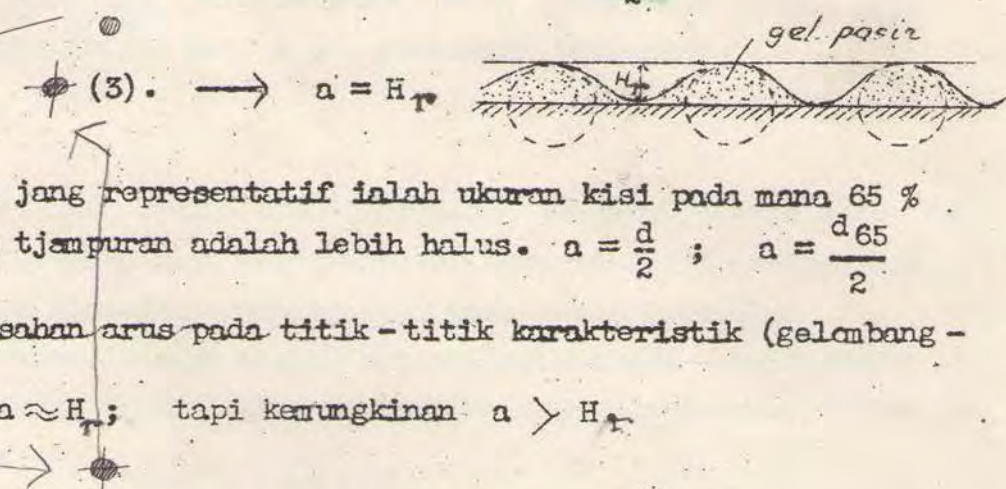


### Klasifikasi batas a :

(1). Dasarannya batas datar  
(Lihat H - 6)

$$\left\{ \begin{array}{l} (1) . \text{ Sedimen beraturan } a = \frac{d}{2} \\ (2) . \text{ Sedimen tijampuran } a = \frac{d_{65}}{2} \end{array} \right.$$

$d_{65-90}$



- Djari-djari butiran yang representatif inlah ukuran kisi pada mana 65 % berat dari pada tijampuran adalah lebih halus.  $a = \frac{d}{2}$ ;  $a = \frac{d_{65}}{2}$
- Dimana terjadi pemisahan arus pada titik-titik karakteristik (gelombang-gelombang pasir).  $a \approx H_r$ ; tapi kemungkinan  $a > H_r$ .

### III. SIFAT-SIFAT BAHAN JANG DIANGKUT

#### Karakteristik bahan-bahan sedimen :

1. Ukuran (size)
  2. Bentuk (shape)
  3. Rapat massa (density)
  4. Ketjepatan djatuh dalam fluida statis  
( fall velocity in static fluids )
  5. Porositas sesudah mengendap ( porosity after deposition )
6. Bulk Density.

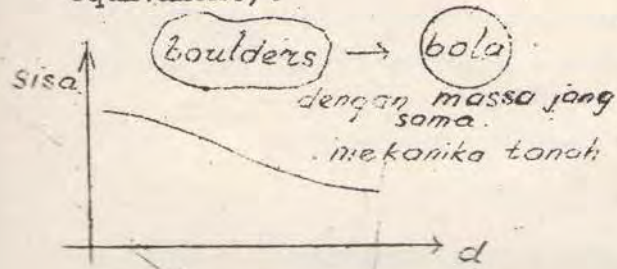
Lazimnya karakteristik-karakteristik harus dianalisis dengan jalanan statistik. Perlu ditjatat bahwa sukar sekali untuk memperoleh contoh jang representatif.

#### (1). Ukuran ( size )

Skala butiran sedimen menurut Sub-Comite Untuk Terminologi Sedimen A.G.U adalah sebagai berikut :

Boulders	4000 - 250 mm	(batu)	Masih diadakan sub-pembagian lagi :
Cobbles	250 - 64 mm	(kerakas)	- very fine
Gravel	64 - 2 mm	(kerikil)	- fine
Sand	2000 - 62 $\mu$		- medium
Silt	62 - 4 $\mu$		- coarse ( kasar )
Clay	4 - 0,24 $\mu$		- very coarse

Penentuan ukuran boulders, cobbles dan gravel dengan pengukuran langsung dari pada isi atau beberapa diameter (conversi kepada diameter bola jang equivalent).



Gravel dan sand dengan memakai analysa saringan biasanya memberikan garis hubungan jang homolatif.

Silt dan clay dengan tjara mikroskopis atau tjara-tjara sedimentasi.

Clay mungkin dalam keadaan suspensi colloidal (melajang tapi mengelompok). Maka ukuran tidak dapat dipisahkan dari bentuk. Yang penting adalah mereka salin gerak sedimen dalam air yang mengalir. Akan diperlukan ukuran yang karakteristik, tergantung dari bentuk dan pembagian ukurannya.

(2) • Bentuk (shape) .

Variasi bentuk sedimen alam adalah tidak terbatas. Pengaruh bentuk terhadap karakteristik hidraulis dari pada partikel atau butiran (jaitu ketjepatan jatuh ataupun hambatan/drag) tergantung dari pada angka Reynolds. Parameter-parameter untuk bentuk adalah perbandingan sumbu-sumbu utama roundness, luas permukaan dibandingkan terhadap volume massa atau ketjepatan jatuh yang equivalent.

- Diameter nominal =  $d_n$

ialah diameter bola dengan massa dan isi yang sama dengan butiran.

Volume butiran =  $\frac{1}{6} \pi d_n^3$

- Diameter sedimentasi =  $d_s$

ialah diameter bola kwarts dengan ketjepatan jatuh yang sama dengan butiran.

 = butiran

 = bola kwarts (kwarts sphere)

- Faktor bentuk (shape factor) =  $S_f$  dirumuskan sebagai

$$S_f = \frac{c}{\sqrt{ab}}$$

dimana a, b dan c adalah 3 sumbu yang tegak lurus satu sama lain.

a = sumbu terpanjang

c = sumbu terpendek

Tujuatan :  $S_f$  untuk bola = 1  $\rightarrow$  (grafik S - 2)

(3) • Rapat massa (density)

Umumnya sedimen berasal dari desintegrasi atau dekomposisi dari pada batubatuannya. Misal : clay adalah fragmen dari feldspat dan mica. Silt adalah silikat, pasir adalah kwarts. Kerikil adalah petahanan-petahanan yang tumpuk berarti dari batu-batu asal. Boulders adalah segala komponen dari batu asal (batu-batu besar).

Rapat massa butiran-butiran sedimenter yang umum ( $< 4 \text{ cm}$ ) tidaklah banjak berselisih. Karena kwarts adalah yang paling banjak terdapat dalam sedimen alam, maka rapat massa rata-rata dapat diambil  $\rho_s = 2650 \text{ kg/m}^3$ . Kadang-kadang dinjatakan sebagai specific gravity = s.

$$s = \frac{\rho_s}{\rho_w} = \frac{\rho_s \cdot g}{\rho_w \cdot g} = \frac{\rho_s}{\rho_w} = 2,65$$

$$\rho_s = 2650 \text{ kg/m}^3 \text{ (solid)}$$

$$\rho = 1800 \text{ kg/m}^3$$

( $\downarrow$  bulk density)

Adalah mineral-mineral yang lebih berat atau lebih ringan.

Untuk clay  $\rho$  berkisar antara  $2500 - 2700 \text{ kg/m}^3$ .

(4). Ketjepatan djatuh (fall velocity).

Ketjepatan djatuh sangat penting untuk sedimentasi reservoir dan proses-proses pengendapan lain. Selain dari itu merupakan salah satu parameter yg menentukan gerak sedimen dalam suspensi. Ketjepatan arus jang diperlukan (ketjepatan kritis) untuk menggerakkan butiran-butiran sepanjang dasar saluran sering juga dihubungkan dengan ketjepatan djatuh  $\rightarrow$  grafik S-4. Gaja jang dialami oleh sebuah butiran dalam gerak relatifnya dalam air dapat dilukiskan sebagai berikut :

$$F = \frac{1}{2} \cdot C_d \cdot \rho_w \cdot A \cdot w^2$$

$$d$$

$$F = \frac{1}{2} C_d \rho_w \frac{1}{4} \pi d^2 w^2$$

w = berat butir diudara

F = gaja hambatan

$\rho_w$  = rapat massa air

A = luas projeksi butiran // arah gerak

w = ketjepatan djatuh.

$C_d$  = drag coeffisien, tidak berdimensi.

$C_d = f(S_f, Re)$  dimana  $S_f$  = faktor bentuk.

$$Re < 1 \rightarrow C_d = \frac{24}{Re}$$

B = gaya apung (buoyant force)

$$W - B = \frac{1}{6} \pi d^3 (\rho_s - \rho_w) g$$

$$Re > 1 \rightarrow \text{grafik S-2.}$$

Pada umumnya ketjepatan djatuh dapat dilukiskan sebagai berikut :

w = f(Re,  $S_f$ ,  $\rho_s$ ,  $\mu$ , s/d,  $\rho_w$ ) dimana s/d = jarak relatif terhadap batas jang padat atau butiran-butiran didekatnya.



$$Re = \frac{w d}{\nu}$$

Rumus-rumusnya

Ketjepatan djatuh bola tunggal dalam air dengan ukuran tak terhingga adalah :

a).  $Re = \frac{w d}{\nu} < 1$

$$w = \frac{1}{18} \frac{\rho_s - \rho_w}{\mu} g d^2$$

Hukum Stokes

b).  $Re > 1$

$$w^2 = \frac{4}{3} \cdot \frac{g d}{C_d} \frac{\rho_s - \rho_w}{\rho_w}$$

Rumus umum

Tjatahan :

$Re < 1$ : Jika untuk  $C_d$  diberi nilai  $\frac{24}{Re}$ , maka rumus ini menjadi rumus a).

$$F = \frac{1}{2} C_d \rho_w \frac{1}{4} \pi d^2 w^2$$

$$d$$

$$W - B = \frac{1}{6} \pi d^3 (\rho_s - \rho_w) g$$

disamakan maka didapat rumus :

$$w^2 = \frac{4}{3} \frac{g d}{C_d} \frac{\rho_s - \rho_w}{\rho_w}$$

dikend. setimbang

$\rho_s$  = berat sedimen atau butiran disebut

rapat massa butir diudara

Untuk bentuk bola dapat dilihat grafik S - 1, sedang jang bukan bola harus dilihat grafik S - 2. Dengan mengetahui  $C_d$ , kemudian masukkan dalam rumus :

$$w^2 = \frac{4}{3} \frac{g d}{C_d} \frac{\rho_s - \rho_w}{\rho_w}$$

Untuk butiran-butiran jang bukan merupakan bola dapat dipakai diameter nominal ( $d_n$ ) untuk menentukan  $Re = \frac{w d_n}{\nu}$  lalu  $C_d$ .

~~Pengaruh bentuk butiran dengan faktor bentuk ( $C_d$ ), dapat dilihat pada grafik S - 2.~~

Ruang sekeliling butiran jang terbatas (misil : ukuran kolam, bedjana dan sebagainja) akan menghambat ketjepatan djatuh butiran. Pelepasan butiran tjontoh (sample grain) untuk pemeriksaan, harus dikerdjakan dengan hati-hati untuk mentjegah terjadinya arus-arus dalam air jang akan mempertjepat gerak kebawah dari butiran. ( maksudnya djangan diaduk ).

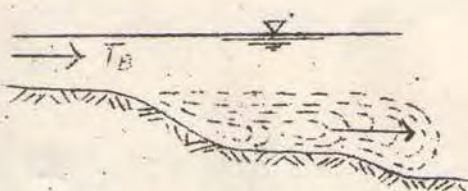
Dalam grafik S - 1 diberikan hubungan antara diameter butiran dengan ketjepatan djatuh dalam air pada suhu jang bermatjam-matjam. Didalamnya terdapat djuga curve dari Rubey untuk air jang bersuhu  $20^\circ C$  jang lebih disukai oleh Einstein. Sebenarnya curve Rubey <sup>tidak</sup> untuk bola kwarts ( $S_f \neq 1$ ), tetapi ~~dan~~ dikatakan tjuukup baik untuk butiran-butiran kwarts pada umumnya.

Untuk tanah liat (clay) ketjepatan djatuhnya dapat berbeda-beda dari pada hitungan, disebabkn karena sifat-sifat colloidal. Djuga dalam air jang mengalir terdapat kondisi-kondisi keseimbangan jang lain, disebabkan adanya turbulensi.

#### (5). Porositas sesudah mengendap.

Untuk menaksir unur suatu reservoir atau hal-hal serupa, hasil perhitungan berat sedimen jang diangkut kedalam reservoir, harus diubah dalam bentuk volume. Untuk itu harus ditaksir berat kering tiap satuan volume dari pada sedimen ditempat. Misalnya untuk sedimen jang kering udara berlaku  $1200 - 2000 \text{ kg/m}^3$ . Bahan jang sama diindapkan dalam keadaan terus menerus terendam air dapat bernilai antara  $300 - 1000 \text{ kg/m}^3$ .

Dalam soal-soal gerusan (scour), matjam pemadatan dari pada butiran-butiran pun adalah faktor jang sangat penting.



Porositas ( $\chi$ ) ialah volume dari pada rongga (voids) dibagi volume rongga + bahan padat  $\times 100\%$

$$\text{atau } \chi = \frac{\text{volume rongga (voids)}}{\text{volume rongga + bahan padat}} \times 100\%$$

$$\text{djuga : Voids ratio} = \frac{\text{volume rongga (voids)}}{\text{volume bahan padat}} \times 100\%$$

## 6) Bulk Density ( $\rho_b$ )

Definisi : rasio massa bahan sedimen kering dlm satuan volume.

Kadang² disebut juga dry density atau unit dry weight.

Bentuk :  $\text{kg mass} / \text{m}^3$

Volum sedimen juga tgl pd kondisi penyendapan & mungkin juga dipengaruhi waktu keru akanya proses konsolidasi.

a) Rumus empiris LANE & KOELZER (1953) utk menaksir bulk density endapan dlm reservoir/padat adl sbb :

$$\rho_{b_T} = \rho_{b_1} + B \log T$$

T = waktu dlm tahun.

$\rho_{b_1}$  = bulk density sesudah konsolidasi 1 Th.

B = koef. Konsolidasi -

Type	Spesies Waduk	pasir (sand)	lumpur (silt)	lempung (clay)
		$\rho_{b_1}$ B	$\rho_b$ B	$\rho_{b_1}$ B
I	Sedimen SPT terendam atau hampir terendam	1500 1550	1050 1120	500 420
IIa	Umumnya draw down waduk sebagian	1500 1550	1185 1135	750 560
IIb	Umumnya draw down waduk cukup berarti	1500	1275 15	950 100
III	Umumnya waduk kosong	1500 1550	1320 1150	1250 640
IV	River fed sediments	1550	1170	900

### b) LARA & REMBERION (1963)

dari 1316 sampel memperoleh nilai  $\rho_{b_1}$  ( $\text{dm}^3/\text{kg}$ ) yg agak berbeda berdasarkan klasifikasi.

lempung  $< 4 \mu\text{m}$

lumpur  $4-6,25 \mu\text{m}$

pasir  $> 6,25 \mu\text{m}$

Nilai  $\rho_{b_1}$  warna merah.

Contoh : Sedimen dlm waduk tipe I mengandung 35% pasir, 20% lempung dan 45% lumpur. Maka rapat massa keru (bulk density). sedimen sesudah mengalami konsolidasi 1 Th adalah.

$$\rho_{b_1} = 0,35(1550) + 0,45(1120) + 0,20(420) = 1130 \text{ kg/m}^3 \text{ Larut Penburto}$$

atau

$$\rho_{b_1} = 0,35(1500) + 0,45(1050) + 0,20(500) = 1000 \text{ kg/m}^3 \text{ Larut Frol.}$$

Ejontoh :

Bahan	$\alpha$ (%)		Bahan	$\alpha$ (%)
1. soil	50 - 60	6.	fine to medium mixed sand	30 - 35
2. clay	45 - 55	7.	gravel	30 - 40
3. silt	40 - 50	8.	gravel and sand	20 - 35
4. medium to coarse mixed sand	35 - 40	9.	sand stone	10 - 20
5. uniform sand	30 - 40	10.	lime stone	1 - 10

dari Groundwater Hydrology

Soal : Butiran pasir ( $\rho_s = 2650 \text{ kg/m}^3$ ) berdiameter nominal =  $d_n = 1 \text{ mm}$  dilepas dalam air bersuhu  $20^\circ \text{ C}$  ( $\rho_w = 1000 \text{ kg/m}^3$ ).

1. Berapakah ketjepatan djatuhnya jika butiran dianggap bola ?
2. Berapakah ketjepatan djatuhnya menurut Rubey ?
3. Hitunglah shape factor butiran pasir jang ketjepatan djatuhnya sesuai dengan nilai menurut Rubey.  $g = 9,8 \text{ m/det}^2$ .

Jawab :

1. Dari grafik S - 1 ( $20^\circ \text{ C}$ )  $\rightarrow w = 15 \text{ a } 16 \text{ cm/det.}$
2. Dari grafik S - 1  $\rightarrow w = 10 \text{ cm/det.}$
3.  $t = 20^\circ \text{ C} \rightarrow \text{grafik H - 2} : \mathcal{V} = 1 \cdot 10^{-2} \text{ cm}^2/\text{det.}$

$$Re = \frac{wd}{\mathcal{V}} = \frac{10 \cdot 0,1}{10^{-2}} = 100 > 1$$

maka dipakai rumus  $w^2 = \frac{4}{3} \cdot \frac{g d}{C_d} \cdot \frac{\rho_s - \rho_w}{\rho_w}$

$$\rightarrow 1 \cdot 10^{-2} = \frac{4}{3} \cdot \frac{9,8 \cdot 1 \cdot 10^{-3}}{C_d} \cdot \frac{2650 - 1000}{1000}$$

$$C_d = \frac{4}{3} \cdot 0,98 \cdot 1,65 = 2,156 \quad \left. \begin{array}{l} \text{Grafik S - 2} \\ Re = 100 \end{array} \right\}$$

$$S_f = 0,4$$

Pingkasan :

Diketahui I; ditanyakan  $\bar{U}$

Diketahui  $\bar{U}$ , ditanyakan I

1. Anggap pengaliran turbulen sempurna

$$Re = \frac{\bar{U} R}{\mathcal{V}} > 600$$

2. Taksir harga a (H - 6)

3. Tentukan  $\mathcal{V}$  sebagai fungsi dari pada suhu (H - 2).

4. Hitunglah  $U_* = \sqrt{g R I}$

$$\text{Hitunglah } \mathcal{V} = \frac{11,6 \mathcal{V}}{U_*}$$

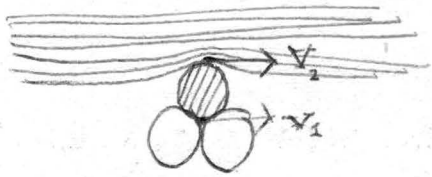
5. Hitunglah

$$C = 18 \log \frac{6 R}{a + \delta \cdot 7}$$

$$\text{Hitunglah } Re = \frac{\bar{U} R}{\mathcal{V}}$$

Tjadi C dari H - 6

$$\text{Hitung } I = \frac{\bar{U}^2}{2 R}$$



$v_2$  besar krn ada aliran

$$v_1 = 0$$

Bernoulli:  $\rho_1 > \rho_2 \rightarrow$  butiran terongkat;

E. Hitunglah  $\bar{U} = C \sqrt{R I}$

F. Periksa  $Re = \frac{\bar{U} R}{\nu}$

Pertanyaan : Jika telah diketahui ( atau ditentukan ) bahwa pengaliran adalah berdinding hidraulis kasar, maka dilakukan operasi 3 dan 6 sedangkan untuk 5 dipakai rumus sederhana  $C = 18 \log \frac{6 R}{a}$

#### IV. FORMULAAN GERAK DARI PADA BUTIRAN ( TEORI SHIELDS )

Pandanglah sebuah butiran diatas dasar jang litjin dan datar jang terdiri dari sedimen berukuran sama (uniform grain size), sedangkan pengaliran air diatas dasar tersebut adalah "parallel" (bukan laminair flow).

Gaya-gaya jang bekerja pada butiran tersebut adalah :

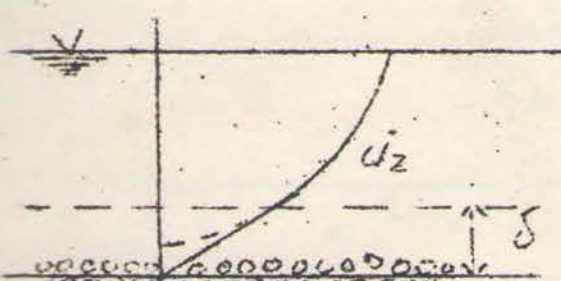
1. jang vertikal : - gaya berat (W)
- gaya apung (B)
- gaya angkat hydro dinamis (hydro dynamic lift force)
2. jang horizontal : - gaya geseran ( $F_{ar}$ ) ar = angle of repose = sudut lereng statis
- gaya hambatan hydro dinamis (hydro dynamic drag force) ( $F_d$  = drag force)

2 konsep : (a) Penerusan tegangan geser total  $\rightarrow$  tidak diberitjarkan  
 (b) Pengaruh langsung pengaliran kepada butiran.

Sifat-sifat pengaliran turbulen dinjatakan dengan harga rata-rata.

Butiran-butiran ditentukan oleh diameter equivalent = d.

b). Permulaan gerak butiran oleh tekanan aliran.



$$\bar{U}_z = 5,75 U_* \log \frac{104 z}{\delta} \quad (\text{II})$$

$$\delta = \frac{11,6 \nu}{U_*} \rightarrow Re_* = \frac{U_* d}{\nu} = \frac{11,6 d}{\delta}$$

$$\bar{U}_{d/2} = \bar{U}_z \text{ jang bekerja pada } z = c \cdot d \quad (z = \text{constante dari } d)$$

Kalau dianggap butiran ini sebagai berda jang mengalami tekanan karena pengaliran, gaya jang

jang bekerja pada butiran:  $F = \frac{1}{2} \cdot \rho_w \cdot c_d \cdot \frac{\pi d^2}{4} \cdot \bar{U}_{d/2}^2$

Dari persamaan (II) diatas  $\bar{U}_{d/2} = f \quad (\dots\dots\dots)$

$$\bar{U}_{d/2} = U_* f \left( \frac{d}{\delta} \right) = U_* f' \left( \frac{U_* d}{\nu} \right) \rightarrow \text{dimana } Re_* = \frac{U_* d}{\nu}$$

$$= \sqrt{g h I} f' \left( \frac{U_* d}{\nu} \right)$$

$c_d = f(Re)$ , mestinya  $c_d = f(Re, Fr)$  dihitung

$$= f''(Re) = f'' \left( \frac{U_* d}{\nu} \right)$$

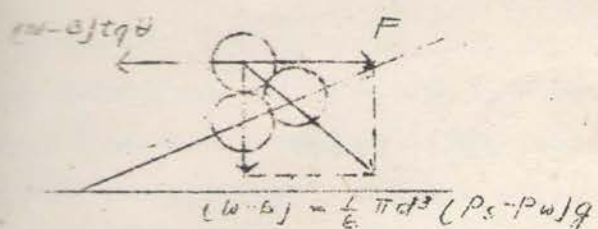
$$\text{Djadi } F = \rho_w g h I d^2 f''' \left( \frac{U_* d}{\nu} \right)$$

$$= T_0 d^2 f''' \left( \frac{U_* d}{\nu} \right) \quad T_0 d^2 f_3 \left( \frac{U_* d}{\nu} \right)$$

Grafik S-3 dibuat untuk suhu 12 °C,  ~~$\rho_s = 2650 \text{ kg/m}^3$~~  &  $\rho_s = 2650 \text{ kg/m}^3$   
untuk yg lain maka  $\pi_*$  dititng (grafik tetap dipakai, tanpa Re dan

$$\frac{T_c}{(T_c - T_w)g u_*}$$

slope of repose = sudut alam = talud = natural slope.



Equilibrium :

$$F = (W - B) \tan \theta$$

$F = g$ aya jang bekerdja pada butiran karena air jang mengalir.

$W$  = berat butiran diudara

$B$  = gaja apung butiran

$\theta$  = sudut alam (natural slope)

$$\tau_o d^2 f''' \left( \frac{U_* d}{V} \right) = \frac{1}{6} \pi d^3 (\rho_s - \rho_w) g \tan \theta$$

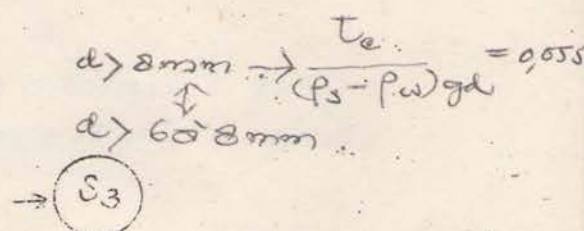
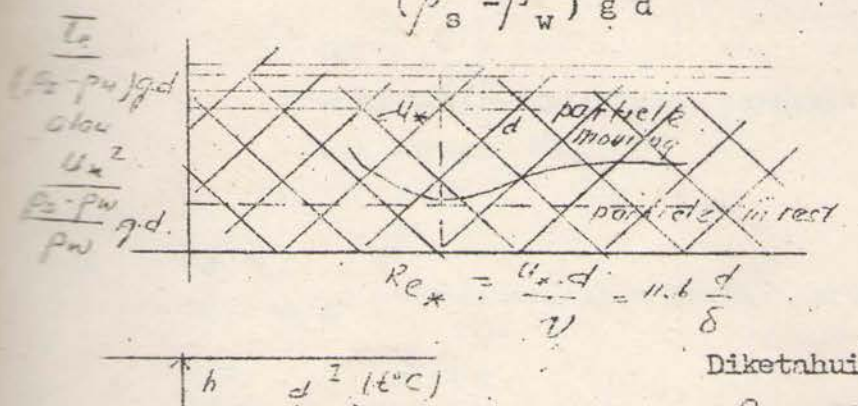
pada keadaan kritis  $\tau_o \rightarrow \tau_c$  maka

$$\frac{\tau_c}{(\rho_s - \rho_w) g d} = f''' \left( \frac{U_* d}{V} \right) = f'''' \left( \frac{d}{\delta} \right) \rightarrow \text{Shields.}$$

Dengan tersebut ditentukan setjara experimental (grafik S - 3). Hal tersebut berlaku untuk pengaliran paralel dengan pembagian ketjepatan logaritmis.

Istilah : Grafik Shields (S - 3) berlaku djuga untuk  $\rho_s$  dan  $V$  pada harga jang lain dari 2650 dan  $1,25 \cdot 10^{-6}$ , tetapi nilai-nilai jang tetap

ialah hanja  $\frac{\tau_c}{(\rho_s - \rho_w) g d}$  dan  $d$ .



Diketahui:  $h$ ,  $I$ ,  $t^\circ$ ,  $d$

$$\rho_s = 2650 \text{ kg/m}^3; V = 1,25 \cdot 10^{-6}$$

Ditanya:  $\tau_c = ?$

$$U_* = \sqrt{g h I} \rightarrow Re_* = \frac{U_* d}{V}$$

$$\frac{\tau_c}{(\rho_s - \rho_w) g d} = \dots \quad \tau_c = \dots \text{ J N/cm}^3$$

$$\tau_c = \dots \text{ N/cm}^3$$

$$= \rho_w g h I$$

Istilah :

Selain memandang harga rata-rata dari pada besaran-besaran, dapat djuga ditinjau ketjepatan saat  $U = f(t)$ . Hal tersebut chususnya penting djika  $d \gg \delta$ .

Gaja akibat aliran :  $F = \frac{1}{2} \rho_w C_d A_n U^2$

Gaja akibat berat :  $W - B = (\rho_s - \rho_w) g v$

$$A_n = \frac{1}{4} \pi d^2$$

$$\text{Keadaan statis bila : } \frac{f}{W - B} \leq \tan \theta$$

Sebetulnya  $\tan \theta$  mudah berubah dengan faktor 2, misalkan tergantung dari letak butiran.  $\tan \theta = 0,35 - 0,70$ .

Permulaan gerak butiran tidak setara otomatis menghasilkan pengangkutan sedimen. Gaya impuls mungkin berlangsung se saat sadja dan butiran akan kembali kepada posisi semula. Sebaliknya bila gaya impuls kuat sekali, butiran mungkin akan bergerak melintasi jarak yang cukup besar.

$$\text{Dari } \frac{f}{W - B} \leq \tan \theta \text{ dapat didjabarkan } \left( \frac{U}{d} \right)^2 \rightarrow 0$$

$$\text{d } (\because U^2 \rightarrow d^3 ) (\because U^6 \rightarrow W ) (\because U^6$$

jang berarti, bahwa berat butiran (batu) yang akan digerakan oleh aliran berubah menurut ketepatan berpangkat 6. Ini berlaku pada  $R_e$  yang cukup tinggi.

Pijatatan :

Menurut Mjälström (1939)  $\rightarrow d (\because \bar{U}^2)$  dimana  $\bar{U}$  adalah ketepatan rata.<sup>2</sup>  
Chusunja untuk  $d \geq 8 \text{ mm}$ . (Grafik Shields S - 3).

$$\text{Pjontoh : } h = 3 \text{ m} ; t = 12^\circ\text{C} ; I = 10^{-4} ; \rho_s = 2650 \text{ kg/m}^3 ; \rho_w = 1000 \text{ kg/m}^3 . \\ g = 9,8 \text{ m/det}^2 ; d = 2 \text{ mm} .$$

Pertanyaan : a). Butiran-butiran didasar bergerak ataukah berhenti ?

$$\text{b). Hitung : } \tau_o ; \tau_c ; u_* ; \text{Re}_*$$

c). Jika  $\rho_s = 3000 \text{ kg/m}^3$  dan  $t = 20^\circ\text{C}$  berapakah  $\tau_c$  pada mana butir-butir mulai bergerak (anggap  $\rho_w = 1000 \text{ kg/m}^3$ ) dan berapa  $\text{Re}_*$  ?

Djawab :

$$\text{a). } t = 12^\circ\text{C}$$

$\rho_s = 2650 \text{ kg/m}^3 \} \rightarrow \text{Nilai2 pada grafik Shields dapat dipakai seluruhnya.}$

$$= 1,25 \cdot 10^{-6} \text{ m}^2/\text{det.}$$

$$u_* = \sqrt{ghI} = \sqrt{9,8 \cdot 3 \cdot 10^{-4}} = 0,0542 \text{ m/det.}$$

$$\text{Re}_* = \frac{u_* d}{\nu} = \frac{0,0542 \cdot 2 \cdot 10^{-3}}{1,25 \cdot 10^{-6}} = 86,8 .$$

Dari grafik Shields djelas bahwa: "butiran bergerak"

$$\text{b). Dari grafik S - 3 (Shields) : } \frac{\tau_c}{(\rho_s - \rho_w) gd} = 0,04 .$$

$$\text{Checking: } \tilde{\tau}_c = 0,04 (2650 - 1000) \cdot (9,8) \cdot (2 \cdot 10^{-3}) = 1,294 \text{ N/m}^2 .$$

$$\tilde{\tau}_o = \rho_w ghI = 1000 \cdot 9,8 \cdot 3 \cdot 10^{-4} = 2,94 \text{ N/m}^2 .$$

$\tilde{\tau}_o > \tilde{\tau}_c \rightarrow \text{"butiran bergerak"}$

## Catatan

Jika butir<sup>2</sup> tdk seragam ada pengaruh terhadap stabilitas butiran yg disebut gradation effect ; jika butir tdk sama jarak  $T_c$  akan diperpanjang & Menurut Knoroz (1971) dalam proses gradasi butir berpengaruh terhadap  $T_c$  jika  $\frac{d_{90}}{d_5} > 5$ , sebaliknya butir<sup>2</sup> kecil berlindung diantara butir besar.

Saran : Untuk butir  $T_c$  besar diambil  $d_{50}$ .

Pada gradasi butiran sangat besar ada pengaruh yg disebut ARMOURING EFFECT artinya butir<sup>2</sup> kecil akan tererosi dan tentunya berlindung t.d. butir<sup>2</sup> besar yg menghalangi tergerusnya dasar sungai lebih lama. Effect ini sangat penting pd proses degradasi sebelum hilang bantahan [Livesey (1963) dan Gessler (1970)].

Dlm hal spt itu  $d_{85}$  &  $d_{95}$  dpt diambil sby nilai yg representatif untuk camp. bed. material.

STOKHASTIS = SEMILOGARITMIS

atau :  $s = 3$

$$\frac{U_{*c}^2}{\rho_s - \rho_w} = 0,04 \rightarrow U_{*c}^2 = 0,04 \cdot \frac{2650 - 1000}{1000} \cdot 9,8 \cdot 2 \cdot 10^{-3}$$

$$= 12,93 \cdot 10^{-4} \text{ m}^2/\text{det}^2$$

$$U_{*c} = 0,036 \text{ m/det} \times U_* = 0,054 \text{ m/det.}$$

$\therefore$  butir - butir bergerak.

$$Re_{*c} = \frac{U_{*c} d}{\nu} = \frac{0,036 \cdot 2 \cdot 10^{-3}}{1,25 \cdot 10^{-6}} = 57,5$$

$$\rho_s = 3000 \text{ kg/m}^3$$

$$t = 20^\circ \text{ C}$$

$$\rho_w = 1000 \text{ kg/m}^3$$

Grafik Shields : untuk  $d = 2 \text{ mm}$

$$\frac{\tau_0}{(\rho_s - \rho_w) gd} = 0,04$$

$$\tau_0 = 0,04 (3000 - 1000) 9,8 \cdot 2 \cdot 10^{-3} = 1,57 \text{ N/m}^2$$

$$\frac{U_{*c}^2}{\rho_s - \rho_w \cdot gd} = \frac{\tau_0}{(\rho_s - \rho_w)}$$

$$\rho_w \cdot U_{*c}^2 = \tau_0 \rightarrow U_{*c} = \sqrt{\frac{\tau_0}{\rho_w}} = \sqrt{\frac{1,57}{1000}} = 0,0396 \text{ m/det} \neq 0,036 \text{ m/det}$$

$$Re_{*c} = \frac{U_{*c} \cdot d}{\nu} = \frac{0,0396 \cdot 2 \cdot 10^{-3}}{10^{-6}} = 72,9 \neq 57,5$$

( Perhatikan skala jang lain dari pada S - 3 ) —

\* Catatan .

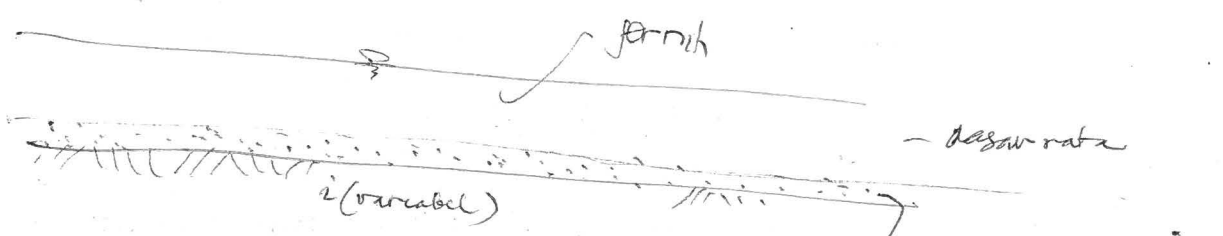
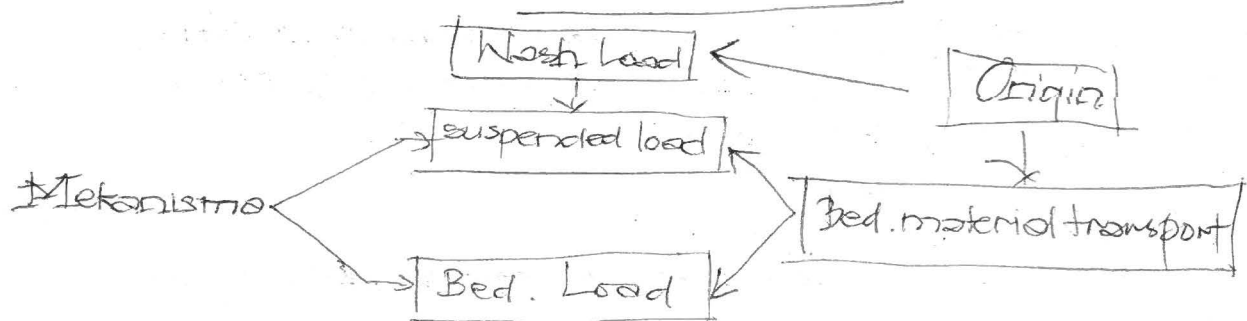
## V. MEKANISME PENGANGKUTAN.

Dengan mengintrodusir hypotesa-hypotesa tertentu tentang gerak turbulen air jang mengalir (Prandtl dan Von Karman), pembagian ketjepatan dari nilai rata-rata dari pada ketjepatan dapat didja barkan, hal mana sesuai dengan hasil-hasil pertjobaan. Dalam proses tersebut keadaan batas atau dinding sangat menentukan. Dalam hydrolika sedimen batas atau dinding tersebut jang terdiri dari bahan jang dapat bergerak akan mengalami pengaruh dari pada aliran turbulan dan sebagai akibatnya dinding / dasar dapat berubah.

Dengan demikian terjadi pengaruh timbal-balik antara dasar aliran jang terlihat dari perubahan kekasaran dinding. Djika pengaliran permanen beraturan telah terwujud, dapat diharapkan telah terjadi keseimbangan dinamis dari pada batas/dasar. Hingga kini untuk peristiwa tersebut belum berhasil didjabarkan suatu formulasi matematik, jang didasarkan pada sifat-sifat air dan sedimen.  $k = f(u_*, d, \rho_s)$ , Parameter-parameter jang berpengaruh pada dalam proses pengangkutan sedimen telah diketahui, dan hubungan jang satu dengan lainnya telah ditentukan setjara empiris.. Seperti telah ditunjukkan dimuka, nilai-nilai kritis harus dilampaui supaya butiran mulai bergerak. —

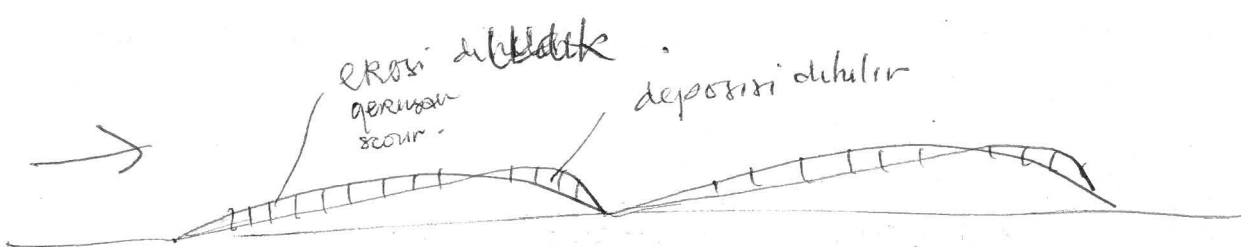
Merkurutannya bahan dasar yg ditransport ada dikedalam sbb :  
 (bed material)

- a) Bed material transport = asal bhn yg ditransport ada diatas sungai artinya transport yg dilakukan oleh load dasar & airan . Dapat berupa bed load atau suspended load .
- b) Wash Load [ yg NB ukuran dihitung  $\rightarrow kira^2 w/20$  dari  $T_{total}$  ] : bahan yg diangkat tolk atau lk sebagian kecil terasing dari dasar sungai setempat . Bahan transport berada di sumber kuar gab. tetapi tidak mempunyai hub. (nggak dg konstruk tspl) Hanya dapat berupa suspended load / tolk sbg bed load . Biasanya halus sekali dg  $d < 50$  mm dan berjadian diantara batu yg lebih besar dan bahan terangkat jika exposed . Tolk merupakan kunci perbaikan dasar sungai dan hanya penting pt sedimentasi reservoir .



mekanik disertasi phase :

A) Lower Flow Regime  $F_r < 0,4$



Dalam kondisi-kondisi non permanent (dalam alam) nilai-nilai tersebut akan berubah-ubah tergantung kepada keadaan bentuk dasar. Dalam alam ~~sukar diharapkan~~ ~~ma~~ keseimbangan antara aliran dan dasar setjara terus menerus.

Pengangkutan sedimen terjadi dalam bentuk-bentuk sebagai berikut:

1. Bed load : Gerak butiran terjadi "pada dasar saluran" setjara menggelinding, menggeser atau melontjat.
2. Suspended load : Gerak butiran terjadi "diatas dasar saluran", berat butiran setjara terus menurun dikompensir oleh gerak turbulent dari pada aliran.

Pembentukan konfigurasi dasar sebagai fungsi ketjepatan arus pada pengaliran, lombat lau bertambah. Kondisi awal "air bersih" dan "dasar rata", terdiri dari "bed material" yang granular dan "non cohesive" dengan ukuran sama.

### a) Lower Flow Regime $F_r < 0.4 - 1.0$

#### Phase 1 : Plain bed

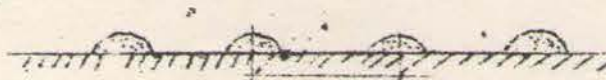
Gerak butiran masing-masing setjara menggelinding atau menggeser dengan berganti-ganti pada tempat sembarang. Dengan bertambahnya pengaliran, frekuensi bertambah pula. Untuk bahan yang sangat halus terjadi saltasi (saltation) dengan membentuk awan dan akhirnya suspensi. Dasar bawah mengalami deformasi.

#### Phase 2 : Ripples

Dasar berbentuk serupa gelombang teratur dengan amplitudo yang relatif kecil terhadap panjang gelombang. Kekasaran bertambah, simetris. Berdimensi tiga.



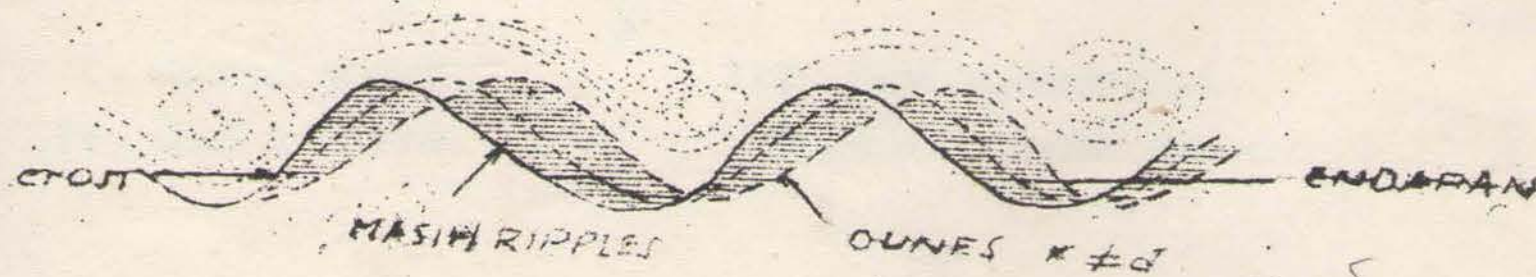
$r_{00} \rightarrow k = d$   
uniform sand



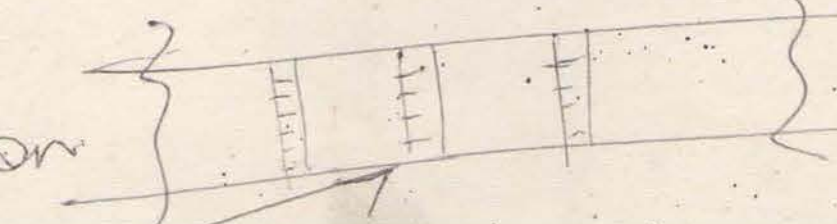
#### Phase 3 : Dunes $\rightarrow$ 3 dimensi, simetris

Sisi sebelah muka/udik lebih landai, sedang sisi sebelah belakang/hilir lebih tajam. Erosi terjadi sepanjang sisi sebelah udik dan endapan terjadi dibagian bawah sisi sebelah hilir. Bentuk-bentuknya kurang teratur dibanding dengan ripples. Kekasaran makin bertambah.

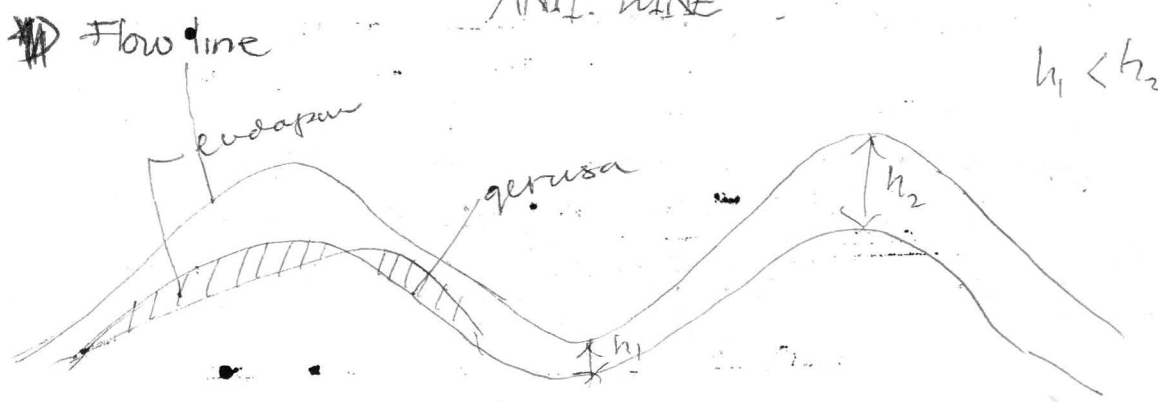
"Bars" (Dunes yang telah menggabung menjadi satu) adalah perpanjangan dari pada jarak-jarak dunes sedang pertunjukannya makin mendatar. Kekasaran makin berkurang. Perubahan dunes ke "bars" inilah yang memberikan friction mulai berkurang.



Dunes > Ripples

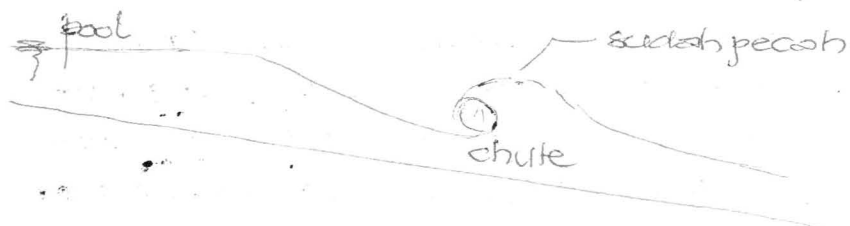


## ANTI-DUNE



## Phase 6 : Chute and Pool

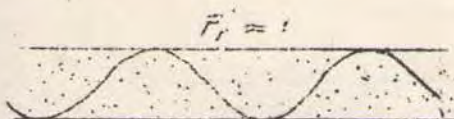
Pd kecep yg lemah, besar lagip akan terbentuk chute & pool sbb :  
 $(F_2$  lebih besar)  $\rightarrow F_1$



### ~~B) Upper Flow Regime $Fr > 1$~~

#### Phase 4 : Sheet flow

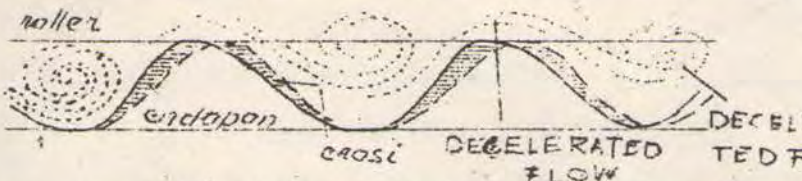
Dasar menggelombang menjadi litjin rata dengan daja angkut jang sangat besar,



sedang kekasaran ketjil. Stadium (phase) ini dapat dikatakan suatu stadium transisi dan tercapai pada  $Fr \approx 1$ .  $\rightarrow k = d$

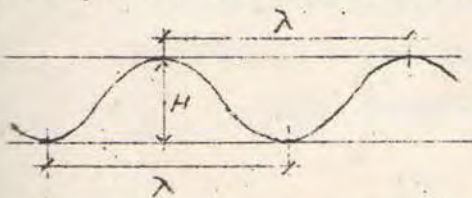
#### Phase 5 : Anti dunes

Endapan bahan - bahan terjadi pada sebelah udik dari pada dunes, sedang erosi



terjadi pada sisi sebelah hilir. Bentuk gelombang sedikit banjak symmetris.

orang mengatakan bahwa gelombang anti dunes bergerak kearah udik, terjadi pada  $Fr > 1$ . ( Pengamatan sulit ).



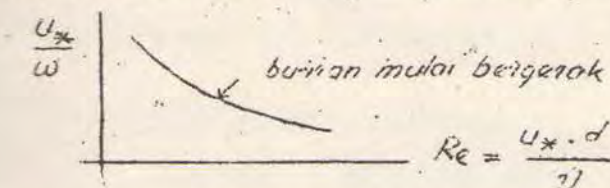
Sifat - sifat ripples dan dunes jaitu tinggi ripples ( $= H$ ), pandjang gelombang ripples ( $= \lambda$ ), ketjepatan pendalaran ( $= c_r$ ) dan daja angkut antara

telah dihubungkan dengan parameter  $\frac{\tau_0}{(\rho_s - \rho_w) gd}$  dan h (dalamna air)

anggapan bahwa suatu butiran dari lapisan teratas akan berada dalam suspensi setelah butiran tersebut mulai tergerak. Orang telah memperoleh hubungan dengan menakai parameter  $\frac{U_*}{w}$ .

urut Tsubaki djikalau  $\frac{U_*}{w} > \frac{5}{3}$  maka butiran ada gedjala untuk bergerak dalam suspensi.

Tahun 1957 LIIE bikin hubungan sebagai berikut :



Tahun 1958 : Albertson, Simons dan Richardson memperluas hubungan tersebut dengan memasukkan kedalam grafik berbagai - bagai phase dari pada konfigurasi dasar saluran ( phase pengangkutan sedimen )

$\rightarrow$  lihat S - 4 .



$$Re_{cr} = \frac{U_* \cdot d}{\nu} = 11,6 \cdot \frac{d}{\delta}$$

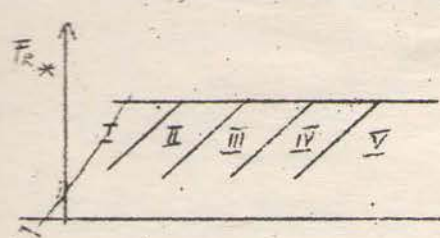
I. daerah ripple

II. daerah dunes

III. daerah transisi

IV. daerah anti dunes

Bogardi (Hongaria) membuat grafik dengan parameter-parameter  $\frac{g d}{U^2}$  dan  $d$



$$\text{jang hasilnya : } Fr_* = \frac{U_*^2}{gd}$$

- I : daerah plain
- II : daerah ripple
- III : daerah dunes
- IV : daerah transisi
- V : daerah anti dunes

Menurut grafik Albertson cs ( S - 4 ) kemungkinan terjadinya phase-phase pengangkutan dapat juga dihubungkan dengan  $\frac{d}{w}$ .

Jika dasar saluran terdiri dari sedimen yang halus, butiran-butiran akan berada dalam suspensi, segera setelah butiran pada dasar mulai tergerakkan dan intensitas komponen-komponen vertikal dari pada fluktuasi <sup>vektor</sup> ketjepatan akibat turbulensi adalah lebih besar dari pada ketjepatan dijatuh butiran tersebut.

~~misal~~  $U_* = \frac{5}{3} w$  mulai terlihat butiran-butiran dalam suspensi dekat pada dasar (Tsubaki).

Contoh : Sebuah sungai lebar 100 m, dalam air = 5 m, dilalui  $Q = 400 \text{ m}^3/\text{det}$ ,  $I = 5,12 \cdot 10^{-5}$ . Bahan dasarnya adalah pasir dengan  $d = 1,7 \text{ mm}$ .

Suhu air  $20^\circ \text{ C}$ .  $g = 9,8 \text{ m/det}^2$ . (anggap bulat)

Pertanyaan : a). Bagaimana phase pengangkutan sedimen ?

b). Hitunglah coefficient kekasaran dasar sungai ( $= k'$ ).

Djawab :

a).  $U_* = \sqrt{ghI} = \sqrt{9,8 (5) (5,12 \cdot 10^{-5})} = 0,05 \text{ m/det}$

Alternatif I :

Menurut grafik Schulz ( S - 1 ) untuk pasir dengan  $d = 1,7 \text{ mm}$  dan t air  $20^\circ \text{ C}$  terdapat  $w = 25 \text{ cm/det}$ , hingga  $\frac{U_*}{w} = \frac{0,05}{0,25} = 0,2$

Dari grafik Albertson cs ( S - 4 ) untuk  $d = 1,7 \text{ mm}$  dan  $\frac{U_*}{w} = 0,2$  terdapat konfigurasi dasar berupa " dunes ".

Alternatif II :

$$Re_* = \frac{0,05 \times 1,7 \times 10^{-3}}{10^{-6}} = 85$$

Dari Albertson cs ( S - 4 ) dengan  $d = 1,7 \text{ mm}$  dan  $Re_* = 85$  terdapat konfigurasi dasar berupa " dunes "

b).  $\bar{U} = \frac{Q}{A} = \frac{400}{100 \cdot 5} = 0,8 \text{ m/det}$

$$\bar{U} = C \sqrt{hI} \rightarrow C = \frac{0,8}{\sqrt{5 \cdot (5,12 \cdot 10^{-5})}} = 50 \text{ m}^{1/2}/\text{det}$$

$$C = 18 \log \frac{12 h}{k'} \rightarrow \log \frac{12 \cdot 5}{k'} = \frac{50}{18} = 2,778$$

$$\frac{60}{k'} = 600 \rightarrow k' = 0,10 \text{ m} \rightarrow d = 1,7 \text{ mm}$$

$$I = I' + I''$$

$$B = B' + B''$$

$$k_3 = k_3' + k_3''$$

Dispersi  $\rightarrow$  membaur mis: zat warna dimasukkan ke air  $\rightarrow$  perlu waktu utk -  
menetralkan

$T_o = \rho_w g R I$  = unit tractive force (sat. yg lurus) jika sungai lebar  $I$  dianggap sama.



dim mentransfer air dg debit  $Q$ .

$T_c$  - bed material ( $S_3$  atau  $S_1$ /Salem)

$T_c$  ~ suspended material

$$T_c < T_o < T_c$$

$\downarrow$  bed material  
 $\downarrow$  suspended material

$$T = \rho_w l^2 \left( \frac{dU_z}{dz} \right)^2$$

$$\downarrow l = Xz$$

$$\downarrow 0,4 \text{ (utk air yg jernih only)}$$

utk sungai yg mengandung lumpur  $\rightarrow \sigma = 0,9$  terlalu besar

Statatan : Djelas dasar sungai tidak datar, karena  $k' \gg d$ .

Coeffisien kekasaran  $k' = 0,10 \text{ m}$  disebabkan terutama oleh adanya dunes jang oleh Einstein disebut ripples (dunes) atau shape roughness (kekasarhan bentuk) disamping grain roughness (kekasarhan butir) ( $d = k$ ).

→ hal 29

Ripple roughness  
dune roughness  
shape roughness } kekasaran akibat dasar yg tergelombang

## VI. SALURAN JANG STABIL

Sedjarah mengenal dua theori penting tentang saluran-saluran jang stabil berpangkal pada prinsip-prinsip jang berlainanalah :

1. Theori rezim (regime-theory) berasal dari India; dikembangkan oleh Kennedy, Lacey, Lindley, Inglis, Bose, Blench dan sebagainya.
2. Theori gaja geseran (tractive force theory) dipakai di USA, USSR dsb. Di Amerika diperbaharui oleh E. W. Lane.

Dalam theori itu bertujuan untuk memperoleh penampang lintang saluran tanah jang mendjamin keadaan jang stabil selama penakaian.

Dalam theori rezim runus-runus terutama didasarkan kepada pengalaman2 de saluran-saluran pengaliran dan data-data dari praktik jang diperoleh dari sungai-sungai. Terutama di India & Pakistan, Kanada.

Dalam theori gaja geseran, pembagian gaja geseran sepanjang dasar dan tebing saluran dipilih sebagai kriteria. Penampang saluran ditentukan sejauh rupa sehingga gaja geseran disemua tempat akan tijukup besarnya untuk berarti hub. ant sedimen dalam jumlah jang merugikan dan disamping itu gaja harus tijukup ketjil untuk mentjegah gerusan-gerusan, jang berarti hub antara geseran dan bahan dasarnya ditentukan setjauh eksperimental.

Tanah dapat berupa :

1. Dasar non-cohesive } Sudut alam (angle of repose)  $\theta$  adalah tertentu.
2. Fine (halus) non-cohesive } Kekasarhan berhubungan dengan butiran, ripple dan dunes. →  $S_6$
3. Cohesive : Kekasarhan berhubungan dengan ketidak temiturnya akibat penggalan (tergantung alat). Dasar dan tebing-tebing tidak perlu terdiri dari komposisi jang sama.

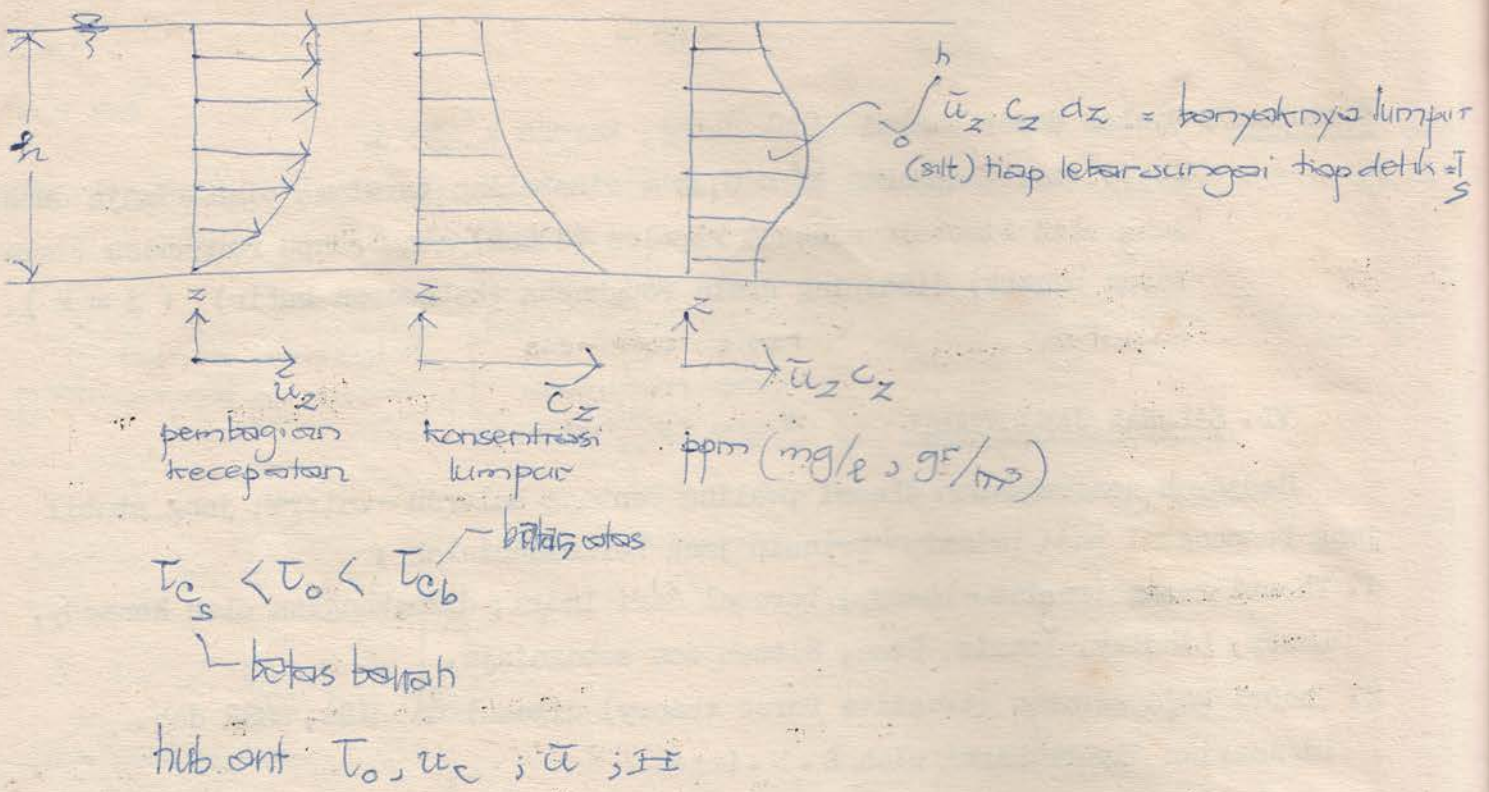
Dasar dapat berupa :

1. Air djernih
2. Air dengan kondungan sedimen halus tertentu (dalam suspensi)
3. Air mengandung koloida (slib)
4. Air dengan suhu jang bermati-jati-mati-jati.

Saluran dapat berupa :

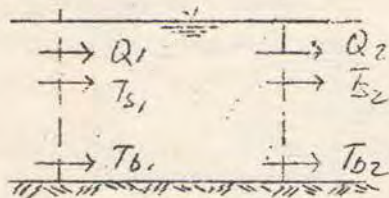
1. Garis lurus
2. Garis jang berbelok-belok

Saluran dengan konsep jang stabil, bahan-bahan jang dimuat dalam bahan-bahan yg diketahui oleh air.



Kita mengenal :

1. Saluran tanpa angkutan,  $\rightarrow$  air jernih
2. Saluran yang mengangkut bahan sedimen yang sedang (suspended load dan bed load).  $\downarrow$  dlm jumlah
3. Saluran yang mengangkut bahan sedimen yang besar.



$$(1). T_{s1} = T_{s2} = 0, \text{ tanpa suspended flow}$$

$$T_{b1} = T_{b2} = 0, \text{ MFIII} \rightarrow \text{tanpa bed load suspended load}$$

$$(2). T_{s1} = T_{s2} \neq 0, \text{ ada suspended load} \rightarrow \text{stabil}$$

$$T_{b1} = T_{b2} \neq 0, \text{ stabil}$$

$$\text{Saluran stabil bila } T_{s1} + T_{b1} = T_{s2} + T_{b2}.$$

Dalam praktik perlu disadari, bahwa yang diangkut tidak perlu ada hubungan dengan tanah dimana sungai itu mengalir. Selain dari pada itu sifat air dan bahan-bahan yang diangkut tidaklah selalu tetap, tetapi bisa menunjukkan perubahan-perubahan karena musim. Debit  $Q$  pun bisa berubah-ubah.

#### ad.2. Theori gaja geseran

Saluran harus direntjukan sedemikian rupa hingga bahan-bahan yang masuk dalam saluran akan betul-betul diangkut. Jika tidak ada bahan yang terangkut, maka gaja geser akan lebih ketjil dari gaja geseran kritik ( $T_o < T_c$ ).

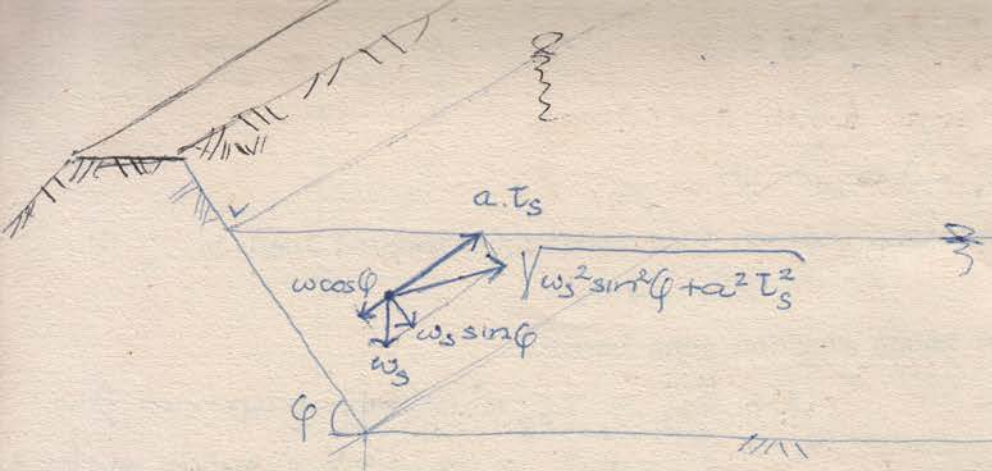
Jika ada bahan yang terangkut, maka perhitungan suspended load dan bed load harus dikerjakan agar diketahui kondisi-kondisi pengaliran saluran pada mana terjadi pengangkutan sedimen yang sesuai. Dalam rumus-rumusnya mungkin tegangan geser timbul sebagai salah satu variable. Tergantung kepada keadaan tanah dasar dan tebing saluran, ada kemungkinan bahwa sedimen (jika halus) diangkut dalam suspensi seluruhnya ( $T_b = 0$ ). Dalam hal demikian batas bawah dari pada gaja geseran sama pentingnya dengan batas atas gaja geseran. Perlu ditekankan, bahwa gaja geseran telah dipilih sebagai parameter yang menentukan gerak sedimen. Sudah barang tentu ada parameter-parameter lain yang dapat dipakai juga.

Misalnya: ketjepatan geseran ( $= U_s$ ), ketjepatan sesungguhnya ( $= U$ ).

Dari gaja geseran yang diperbolehkan harus dihitung ketjepatan rata-rata ( $= \bar{U}$ ) dan  $[T]$  dan seterusnya ditjari penampang lintang ( $= A$ ) yang memberikan debit  $Q$  yang dikehendaki.

konsep gaja gesek menghendaki penindjauan hal-hal sebagai berikut :

- a. Pembagian gaja geseran.  $\rightarrow$  kg. gesek ( $T$ )
- b. Pengaruh tebing/talud/dasar.
- c. Gaja geseran kritik untuk bahan-bahan non-cohesive.
- d. Gaja geseran kritik untuk bahan-bahan cohesive.
- e. Pengaruh trasee saluran.  $\rightarrow$  lurus / ber-blok<sup>2</sup>



$$a = \tan \phi$$

$t_c$  (shields) dititling dr  $S_3$

Open Channel Hyd.

T. T. Chow, Mc Graw Hill

1959, p 170.

$$W = F \cdot N$$

$$w_s \cos \phi \rightarrow y_j \text{ menghomot } W_s \cos \phi \operatorname{tg} \phi$$

$$\sqrt{w_s^2 \sin^2 \phi + a^2 t_s^2} = y_j \text{ menggerakkan}$$

$$\xleftarrow{\text{Wcos}\phi \operatorname{tg}\phi} \quad \xrightarrow{\sqrt{w_s^2 \sin^2 \phi + a^2 t_s^2}}$$

$$\text{pasang kritis. } t_s \approx t_{sc}$$

$$w_s^2 \cos^2 \phi \operatorname{tg}^2 \phi = w_s^2 \sin^2 \phi + a^2 t_{sc}^2$$

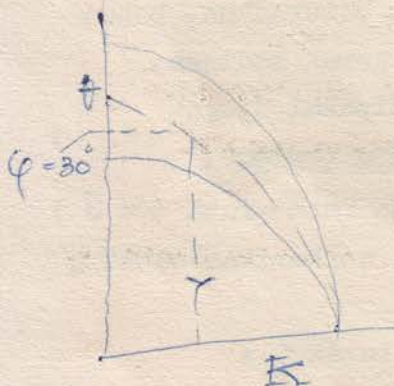
$$t_{sc} = \sqrt{1 - \frac{\operatorname{tg}^2 \phi}{\operatorname{tg}^2 \theta}} \cdot \frac{w_s}{a} \operatorname{tg} \theta \cos \phi$$

pasang kritis

$$a t_c = w_s \operatorname{tg} \theta \rightarrow t_{sc} = t_c \cos \phi \cdot \sqrt{1 - \frac{\operatorname{tg}^2 \phi}{\operatorname{tg}^2 \theta}}$$

$$K = \frac{t_{sc}}{t_c} = \cos \phi \sqrt{1 - \frac{\operatorname{tg}^2 \phi}{\operatorname{tg}^2 \theta}} \rightarrow S_6$$

$K < 1 \rightarrow$  EW Lane & Carter 1953



$$t_s \max = 0,76 t_{sc} \max$$

$\hookrightarrow$  PasjRI

$$t_{sc} \leq t_s \max \rightarrow ?$$

$$t_{sc} = T_{side \text{ critic}}$$

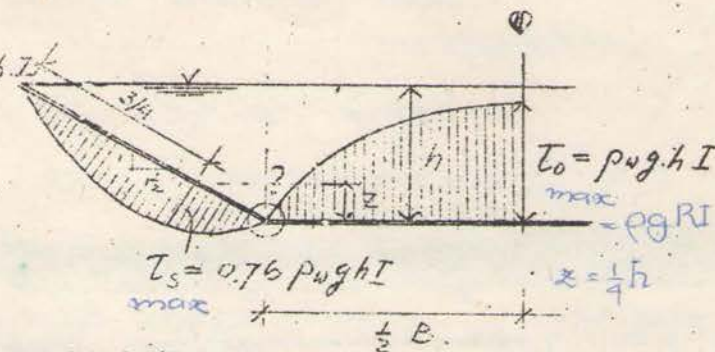
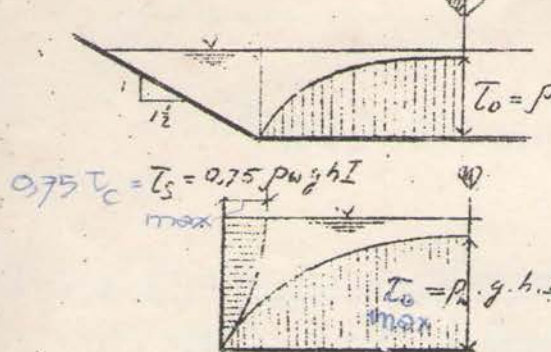
G.H. FAHRE (1917) HANDBOOK

$$K = \frac{t_{sc}}{t_s} = \sqrt{1 - \frac{\sin^2 \phi}{\sin^2 \theta}}$$

(a). Pembagian gaja geseran ( Lihat grafik S - 5 )

Untuk penampang trapesium : dasar  $T_o \sim \rho_w g h I$

talud  $T_s \sim 0,76 \rho_w g h I$



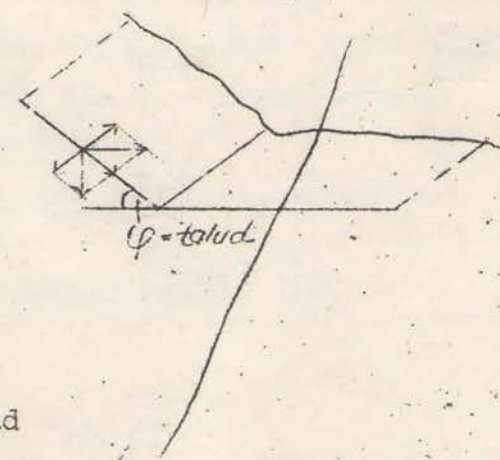
PENAMPANG 4 PERSEGI PANJANG

(b). Pengaruh tebing/talud.

Andaikan 2 matjam gaja bekerdjia pada butiran ditebing, ialah gaja geseran pada arah pengaliran dan gaja akibat gravitasi, maka perbandingan antara gaja geseran kritik sepandjang tebing/talud dan gaja geseran kritik pada dasar jang datar dapat ditulis sebagai fungsi dari sudut talud dan sudut alam butiran.

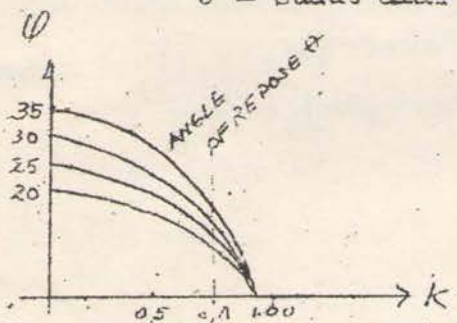
$$K = \frac{T_c \text{ talud}}{T_c \text{ dasar (datar)}} = \cos \phi \sqrt{1 - \frac{\tan 2\theta}{\tan^2 \theta}}$$

( lihat S - 6 Fig. B )



dimana :  $\phi$  = sudut talud

$\theta$  = sudut alam ( angle of repose )



$\phi < \theta$

$T_c$  - dari Shield

$T_o$  - dengan  $\rho_w g h I$

Selain itu  $T_{\text{talud}} = \alpha T_{\text{dasar}}$

dimana:  $\alpha = 0,76$  (profil trapesium)

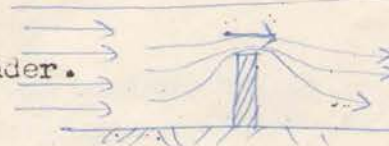
$\alpha = 0,75$  (profil persegi)

$\theta$  dapat bernilai dari  $30^\circ - 40^\circ$  ( lihat S - 6 Fig. C )

Jika sudut alam ini tidak dapat ditentukan dengan seksama, maka akan berakibat ketidakpastian yang cukup besar.

Sebab-sebab lain adalah :

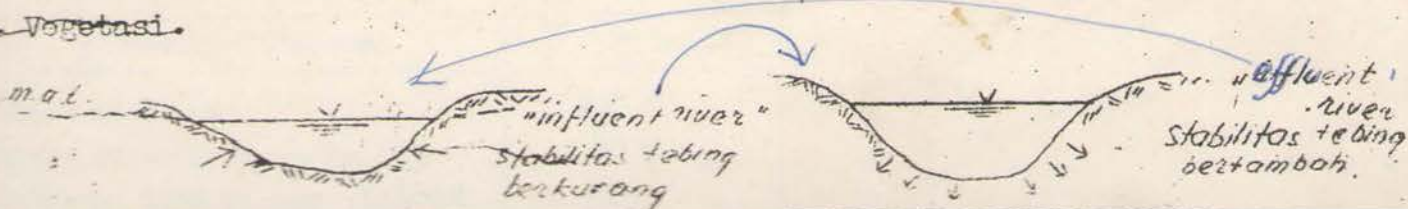
1. Penjiripangan dari arah aliran karena arus-arus sekunder.



2. Gaja-gaja akibat rambatan kedalam ataupun keluar.

3. Dan juga pengaruh <sup>dari</sup> gelombang angin, atau kapal.

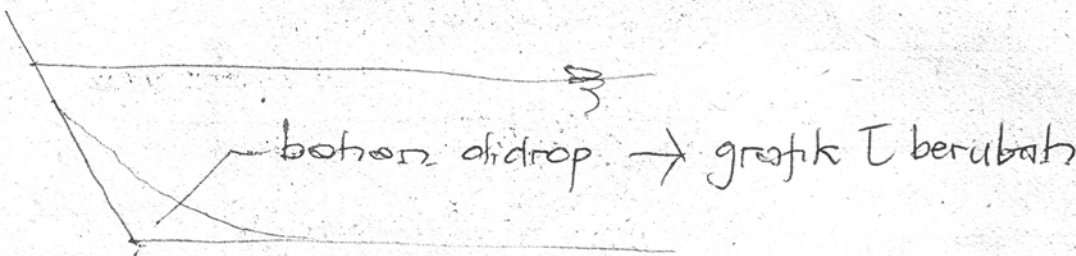
4. Vegetasi.



$$T_c < T_o \uparrow < T_c$$

↳ bed material

↳ suspended material

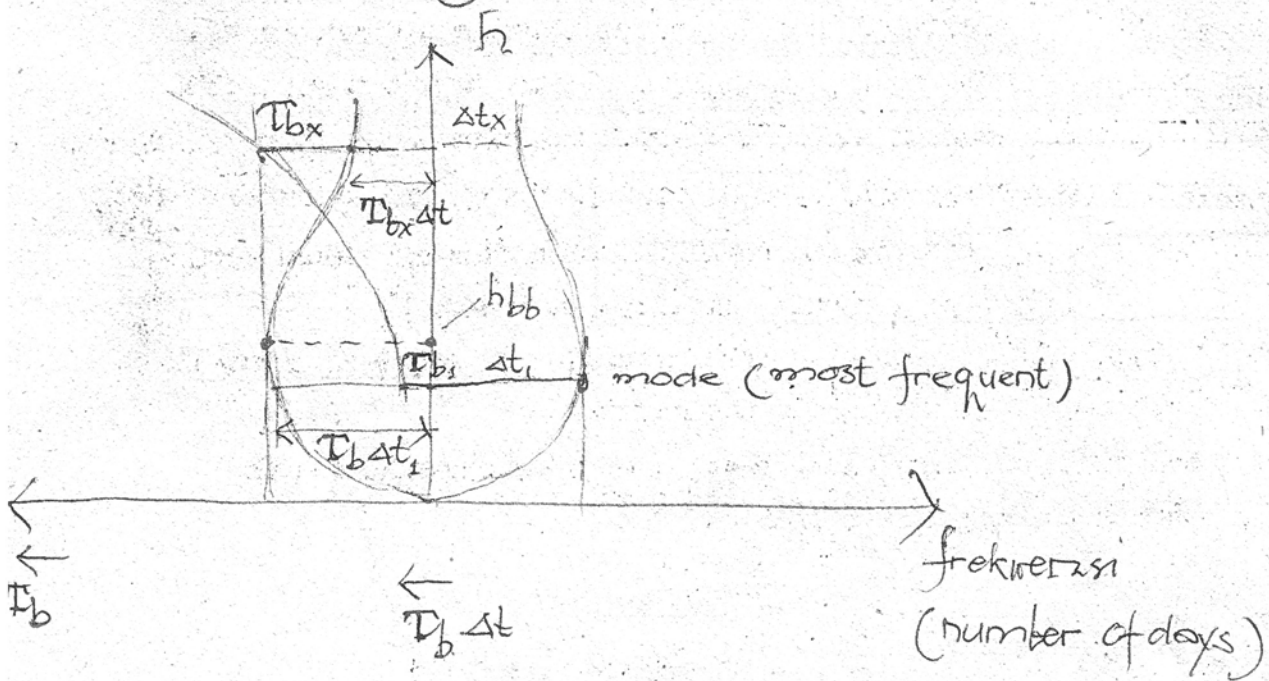


Mengambil bed material water level

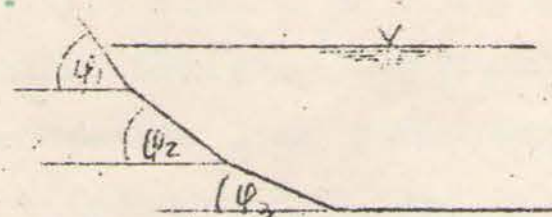
yg poling besar memberikan bentuk dasar ( $h_{bb}$ ):

Suatu m.a yg mengakibatkan perhit. ant.  $At$  &  $T_b$  terbesar = sedimen tertanyok.

Sediment rating curve



Penampang jang ideal/keadaan jang ideal dapat didjabarkan setjarn analitis  
( jaitu oleh von Bretting - 1958 - Denmark ).



berubah - ubah  $\rightarrow$  mabul

tak dilaksanakan

$$\tau_c^1 < \tau_c^2 < \tau_c^3 < \tau_c$$

( jadi  $\tau_c$  mengikuti pertambahan  $\varphi$  )

$\varphi$  makin besar  $\rightarrow \tau_c$  makin kecil

(c). Gaja gesekan kritik untuk bahan - bahan non-cohesive

Djika istilah kritik dimaksudkan bahwa tegangan geser ( $\tau_c$ ) tidak boleh melebihi nilai jang menbabkan gerak butiran ( $\tau_c$ ), maka kita berhadapan dengan suatu kondisi dimana tidak ditolerir adanya bed-load. Djadi untuk air bersih  $\tau_o < \tau_c$  bed material. Untuk air jang mengandung sedimen halus,  $\tau_c$  harus lebih ketjil dari  $\tau_c$  bed material jang sesuai dengan bahan dasar saluran dan ~~material~~ <sup>disamping itu</sup> ruslah lebih besar dari  $\tau_c$  suspended load jang sesuai dengan sedimen halus. Harus diusahakan supaja  $\tau_c$  sedekat mungkin pada  $\tau_c$  dasar, tetapi masih lebih ketjil djika ingin ditjapai keadaan dimana sedimen halus akan tetap dalam suspensi.

Dalam keadaan itu penting sekali ditjapai pembagian tegangan geser sepanjang dinding-dinding/dasar dengan keseragaman optimum. Perlu disadari bahwa beberapa faktor lain (selain  $\tau_c$ ) ikut pegang peranan didalam menetapkan  $[\tau]$ . Misalnya komposisi bahan dasar (penugjar ukuran dan bentuk butiran), mutu se dinen dari pada air, penampang lintang dan sebagainya.

Suatu ringkasan dari pada data-data tentang  $\tau_c$  telah diberikan oleh E.W.Lane dalam bentuk suatu grafik ( 1955 ).

Kesimpulan :  $[\tau_c] = d S_u$

$d$   
cm  
 $\tau_c$   
kg force/m<sup>2</sup>  $\approx 10 N/m^2$

misalnya :  $d = 0,01 \text{ cm}$ , maka  $\tau_c = 0,01 \text{ kg/m}^2$ .

(d). Gaja geseran kritik untuk bahan cohesive

Masih banjak study diperlukan dalam bidang ini. Cirususnya jang sulit analisis sifat-sifat dari pada tanah. Guna memperoleh besar dan variansinya dengan sifat-sifat tertentu telah dibantuan grafik dari data-data Lane ( 1955 ).

(e). Pengaruh tracee saluran .

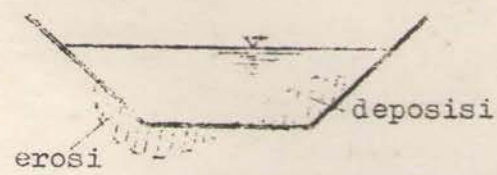
Tergantung kepada topografi, saluran dapat terdiri atas bagian-bagian jang lengkung. Maka diandjurkan untuk mengurangi tegangan geser jang dipertulohkan ( $\tau$ ). Menurut Lane reduksi malah sebagai berikut :

Derajat belokan	$\tau_c$ relatif
Saluran lurus	100 %
Saluran agak ber-belok2	90 %
Saluran tjuukup ber-belok2	75 %
Saluran sangat ber-belok2	60 %

Hydraulic mean depth =  $\frac{\text{Luas penampang basoh}}{\text{Lebar muka air}}$

Usaha-usaha untuk mentjegah terjadinya gerusan pada belokan tunggal (banja satu belokan sadja) :

1. Djari2 belokan  $> 6 \times$  lebar muka air ( $R > 6B$ )
2. Djari2 belokan  $> 15 \times$  dalamnya air ( $R > 15h$ )
3. Perbesaran luas penampang lintang.
4. Perlindungan tebing-tebing (talud)



Untuk ini harus ditjari tempat jang tepat sesudah gerusan mulai terjadi.

Tjontoh : Direntjanakan suatu saluran lebar dengan talud 1 : 2; dalam air 5 m,  $I = 10^{-4}$ . Sebagai bahan pelindung dasar dan tebing-tebing dipilih - krikil kwart jang bulat dengan  $d = 7$  mm.

Diminta : Untuk memeriksa apakah penampang tersebut stabil atau tidak.

Penjelesaian : Djika tidak diberitahukan apa-apa, saluran dianggap lurus dan air bersih.  $\rho_w = 1000 \text{ kg/m}^3$ ;  $\rho_s = 2650 \text{ kg/m}^3$ .

Tegangan geser jang terjadi :

- pada dasar :  $\tau_o = \rho_w g h I = 1000 (9,8) \cdot (5) \cdot (10^{-4}) = 4,9 \text{ N/m}^2$
- pada tebing:  $\tau_s = 0,76 \rho_w g h I = 0,76 \cdot 4,9 = 3,72 \text{ N/m}^2$ .

Tegangan geser kritik :

- pada dasar : dari Shields (S - 3) untuk  $d = 7$  mm

$$\begin{aligned}\tau_{o_c} &\equiv 0,055 (\rho_s - \rho_w) g d \\ &= 0,055 (2650 - 1000) (9,8) (0,007) = 6,22 \text{ N/m}^2 \\ \tau_o &< \tau_{o_c} \quad \text{----- dasar stabil.}\end{aligned}$$

- pada tebing: dari grafik S - 6 Fig. C

$$\begin{aligned}\text{untuk } d = 7 \text{ mm} \quad \text{sudut alam } \theta = 31^\circ \\ \text{krikil bulat} \quad \quad \quad\end{aligned}$$

dari grafik S - 6 Fig. B

$$\begin{aligned}\text{untuk } \theta = 31^\circ \quad \quad \quad k = 0,48 = \frac{\tau_{s_c}}{\tau_{o_c}} \\ \text{talud } 2 : 1\end{aligned}$$

$$\tau_{s_c} = 0,48 \tau_{o_c} = 0,48 \cdot 6,22 = 2,99 \text{ N/m}^2.$$

$$\tau_s > \tau_{s_c} \quad \text{----- tebing tidak stabil.}$$

## VII. PERHITUNGAN SEDIMENT TRANSPORT.

Intensitas angkutan sedimen total pada suatu penampang saluran/sungai adalah banjarkna sedimen jang lewat penampang tersebut persatuan waktu.

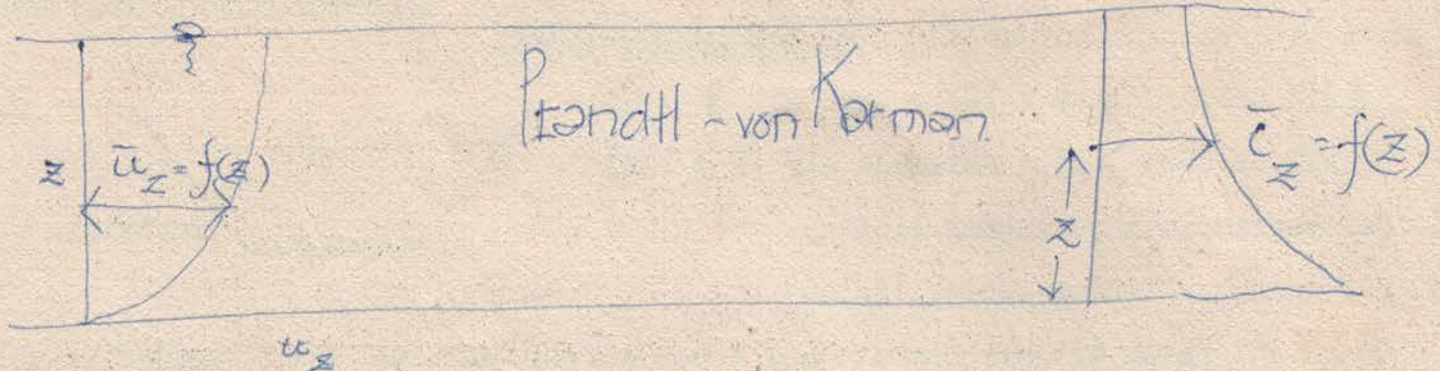
Intensitas angkutan dapat dinjatakan dalam berat atau volume persatuan waktu.

(N/dt ;  $\text{m}^3/\text{dt}$ )

$$B \rightsquigarrow T(N/dt, \text{m}^3/\text{dt})$$

Rumus universil jang berlaku, baik buat suspended load maupun bed load tidak dapat diharapkan, karena mekanisme angkutan memang berlainan.-

$$T_t = T_b + T_g$$



Pendell von Kármán

$$\frac{q_b \left( \frac{\rho_s - \rho_\infty}{\rho_\infty} \right)}{q_h^I} \approx 10 \cdot \frac{T_o - T_c}{(\rho_s - \rho_\infty) g d} \rightarrow q_b \propto (H I)^{2 \frac{1}{2}} \\ q_h^I \propto \bar{u}^5$$

$$q_h^I = \bar{u} H I = (H I)^{\frac{3}{2}}$$

Intensitas total dari pada angkutan ( $T$ ) harus dianggap sebagai jumlah angkutan bed load ( $T_b$ ) dan suspended load ( $T_s$ ).

$$T = T_b + T_s$$

### Bed-load

Suatu formulasi yang lengkap tentang gerak bed load harus mencakup semua variable dari pada pengaliran dan sedimen. Rumus-rumus umumnya tidaklah demikian.

- Parameter-parameter untuk pengaliran adalah :  $\rho_w$ ,  $v$ ,  $h$ ,  $R$ ,  $I$ , kekasaran dasar, intensitas turbulensi dll.

$$\bar{U}_z = f(z); \quad c_z = \phi(z)$$

- Parameter untuk bahan dasar adalah :  $\rho_s$ , ukuran karakteristik, pembagian ukuran, bentuk, sifat-sifat cohesive dan bentuk dasar (konfigurasi).

Sebagian besar rumus-rumus memakai parameter yang menentukan keadaan batas untuk mana tidak terjadi angkutan. Misalnya :

1.  $\bar{T}_o - \bar{T}_c$  (tegangan geser kritik)
2.  $Q_o - Q_c$  (debit kritik)
3.  $U_o - U_c$  (ketjepatan kritik)

Rumus tertua tahun 1879 dari DU BOIS (Perantjis) :

$$q_b = C_s \cdot (\bar{T}_o - \bar{T}_c)$$

= volume angkutan bed-load per satuan lebar per satuan waktu.

atau :

$$T_b = \rho_s g q_b$$

$\bar{T}_b$  = berat material

$C_s$  = Coef. yang merupakan fungsi dari  $d$  (diameter)

$\bar{T}_c$  = nilai  $\bar{T}$  pada mana  $q_b = 0$ .

Ringkasan dari pada besarnya  $C_s$  dari  $\bar{T}_c$  didasarkan pada pertjobaan banjak-penjelidik, telah diberikan oleh STRAUB (dalam bukunya Rouse: Engineering Hydraulics). Banjak rumus-rumus lain dari pada type DU BOIS telah diperkembangkan dengan memasukkan pengaruh kekasaran (roughness), kemiringan ( $I$ ), debit, ukuran butiran, dalamnya air dan lain-lainnya.

Rumus homogen yang berdimensi diusulkan oleh SHIELDS (1927) :

$$\frac{q_b \cdot \left( \frac{\rho_s - \rho_w}{\rho_w} \right)}{q \cdot I} = 10 \cdot \frac{\bar{T}_o - \bar{T}_c}{(\rho_s - \rho_w) g d} \quad \text{dimana } \bar{T}_c \text{ dari grafik Shields.} \quad (3)$$

$q_b (\cdot) (h I)^{2/3} \longrightarrow q_b$  - bed load

$q (\cdot) U^5 \longrightarrow q_b$  - air

Praktis teknik alam-rumus tersebut yang telah ditujukunja dengan keadaan dalam alam. Coefisien-coefisien dan nilai-nilai kritik telah diperoleh dari pertjobaan di laboratorium yang kadang-kadang ukuran-ukurannya terlalu ke-

tjil, sehingga extra polasi kepada keadaan alam tidak selalu dapat dibenarkan. Batas-batas dimana pertjobaan-pertjobaan tersebut dilakukan pun sering kali terlalu terbatas. Hingga pemakaiannya diluar batas-batas itu akan menghasilkan penjimpangan-penjimpangan yang berarti (duga didalam pertjobaan-pertjobaan di laboratorium). Hingga kini rumus-rumus tersebut tidak berhasil melukiskan fenomena-fenomena fisik dari pada mekanisme pengangkutan bed-load. Hubungan-hubungan yang diperoleh setjara empiris tidak menjakup semua variable yang mempengaruhi prosesnya. Selain dari pada itu evaluasi dari pada coeffisien tergantung kepada interpretasi pribadi.

Rumus MEYER-PETER dan MÜLLER (Zurich) - tahun 1934.

Pada mulanya rumus untuk menghitung bed-load (bahan agak kisar) diperoleh berdasarkan pertjobaan-pertjobaan dengan bahan butiran berukuran sama dan rapat massa  $\rho_s = 2630 \text{ kg/m}^3$ .

Hubungan berikut adalah yang paling sesuai :

$$\frac{q^{2/3} I}{d} = a + b \frac{T_b^{2/3}}{d}$$

$q$  = debit air per satuan lebar dan per satuan waktu, yang menentukan bed load  
( $\frac{\text{kg (gaja)}}{\text{m} \cdot \text{det}}$ )

$T_b$  = berat dari bed load (diudara) tiap satuan lebar dan tiap satuan waktu.

Djuga dipakai  $T_b'$  = berat dari bed-load (dalam air) tiap satuan lebar dan tiap satuan waktu ( $\frac{\text{kg (gaja)}}{\text{m} \cdot \text{det}}$ )

$d$  = diameter butiran (m).

$I$  = miringan garis energie (tenaga).

a dan b = coeffisien.

Keadaan batas (kritik) untuk angkutan ( $T_b = 0$ ) adalah :

$$\frac{q^{2/3} I}{d} = a = 17 \quad \text{dan} \quad b = 0,4$$

Djika berdasarkan  $T_b'$  :  $a' = 17 \rightarrow b' = 0,55$

Dalam beberapa handbook rumus tersebut ditulis sebagai berikut :

$$T_b = (A \cdot q^{2/3} I - B \cdot d)^{3/2}$$

Penjelidikan lebih lanjut dilakukan dengan berbagai-bagai rapat-massa dan tjiampuran sedimen dengan rapat massa  $\rho_s = 2630 \text{ kg/m}^3$ . Hasilnya ialah bahwa kehilangan tenaga total harus dianggap terdiri dari dua bagian, ialah :

1. Kehilangan tenaga akibat bentuk dasar.

2. Kehilangan tenaga akibat geseran dengan butiran-butiran didasar (partikel, grain roughness).

$$I \left\{ \begin{array}{l} I' \\ I'' \end{array} \right.$$

$$\frac{I'}{I} = \left[ \frac{k_s}{k_{s'}} \right]^{\frac{1}{2}} - 2 \quad (\text{mudanya poangkat due to teoris})$$

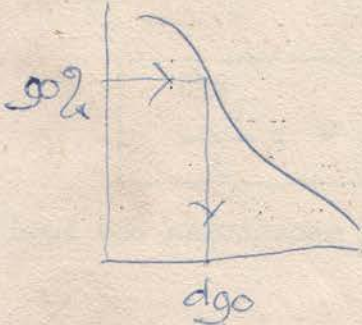
mercurit percab.  $\frac{I'}{I} = \left[ \frac{k_s}{k_{s'}} \right]^{\frac{1}{2}}$

\* Graf NH p 139.

Hydrodynamic of sediment transport Mc Graw Hill 1971.

$$\frac{q_s}{q} = \frac{R}{h} \rightarrow \text{dim kedat normal} \quad \frac{q_s}{q} < 1$$

$$\frac{I}{I} = \left( \frac{k_s}{k_{s'}} \right)^{\frac{1}{2}} = k = \left( \frac{c}{c_{d50}} \right)^{\frac{3}{2}} \approx \left[ \frac{18 \log \frac{12R}{h}}{18 \log \frac{12R}{c_{d50}}} \right]^{\frac{3}{2}}$$



$$c = 18 \log \frac{12R}{h}$$

$d_{50}$   $\rightarrow$  Einstein (Hjeltnes muller)

$$T_b \approx f(d_{50}) \propto$$

$$T_b = f(d_{50})$$

$$\gamma_w = \rho_w \cdot g$$

$$\gamma_s - \gamma_w = (\rho_s - \rho_w)g$$

$$\frac{\gamma_w}{g} = \rho_w$$

$$\rho_w \cdot g \cdot \frac{q_s}{q} \left( \frac{k_s}{k_{s'}} \right)^{\frac{3}{2}} h I = 0,047 (\rho_s - \rho_w) g d_m + 0,25 (\rho_w)^{\frac{1}{3}} (T_b')^{\frac{2}{3}}$$



$$\text{vd: } ? \frac{T_b'}{(\rho_s - \rho_w)}$$

$$\text{m}^3 / \text{m det}$$

hrsny

$$(\gamma_s - \gamma_w)$$

$$\text{vd: } \frac{T_b'}{\gamma_s - \gamma_w}$$

$$\text{m}^3 / \text{m det}$$

$$\text{N/m det}$$

$$I / \text{m det}$$

Dianggap jang terakhir jang lebih menentukan angkutan sedimen, sehingga harus diintroduksir didalam rumus angkutan, dengan rumus Strickler :

$$\bar{U} = k R^{2/3} I^{1/2}$$

Miringnja garis tan:ga akibat geseran butiran I' (jang merupakan sebagian dari I total) dapat dinjatakan sebagai fungsi dari I total dengan memakai coeffisien geseran  $k'$ , sehingga :

$$I' = \left( \frac{k}{k_s} \right)^2 I$$

$k$  - Strickler

Dalam rumus bed-load hubungan berikut adalah jang paling sesuai dengan per-tjebaan :

R

$$\gamma_w \frac{Q_s}{Q} \left( \frac{k_s}{k} \right)^{3/2} h I = 0,047 (\gamma_s - \gamma_w) d_m + 0,25 \left( \frac{\gamma_w}{g} \right)^{1/3} (T_b')^{2/3}$$

hafal

Rumus ini aslinja untuk diameter kasar (coarse grain).

$\frac{\gamma_s}{Q}$  = faktor koreksi berhubung bentuk penampang sungai/saluran  
= 1 (untuk sungai jang lebar).  $\frac{R}{h}$

$\left( \frac{k}{k_s} \right)^{3/2}$  = ripple factor ( $\mu$ )

untuk dinding jang hydraulik kasar :

$$k' = \frac{26}{d_{90}^{1/6}}$$

dimana  $d_{90}$  = diameter dengan 90 % berat dari tumpuran jang lewat saringan.

$d_m$  = diameter effectif =  $d_{50} - d_{60}$  =  $d$  median

Einstein :  $d_m = d_{65}$

Frylink :  $d_m = d_{50}$

$\gamma$  = berat djenis dalam  $t/m^3$

tjontoh :  $\gamma_w = \rho_w \cdot g = 1000 \cdot 9,8 N/m^3 = 9800 N/m^3$   
 $= \frac{9300}{9,8} \frac{kg}{m^3}$  (rasic)  $= 1 t/m^3$

$T_b'$  = berat butiran dalam air tiap satuan lebar dan satuan waktu =  $\frac{t}{m \cdot det}$

volumenja :

$$v = \frac{T_b'}{\gamma_s - \gamma_w} \cdot \frac{m^3}{m \cdot det}$$

Bila dasarnja rata, maka  $\frac{k}{k_s} = 1 \rightarrow \mu = 1$ .

$$M_f = \frac{kg}{kg}$$

Pada keadaan kritik  $T_b' = 0$ , rumus Meyer-Peter dan Muller menjadi :

$$\frac{\gamma_w \cdot h \cdot I}{(\gamma_s - \gamma_w) d_m} = 0,047$$

$B = \infty$

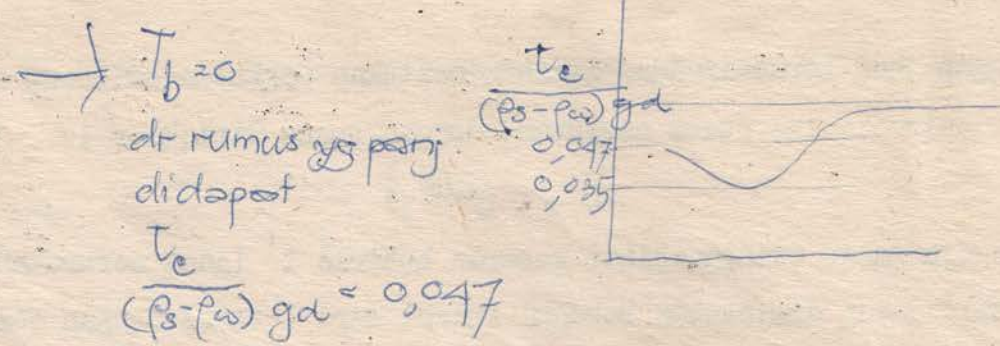
dasar rata  $\frac{k}{k_s} = 1$

Rumus tersebut mirip dengan persamaan Shields untuk pemulih gerak.

Uth sungai B »» h

$$\frac{q_s}{q} = 1$$

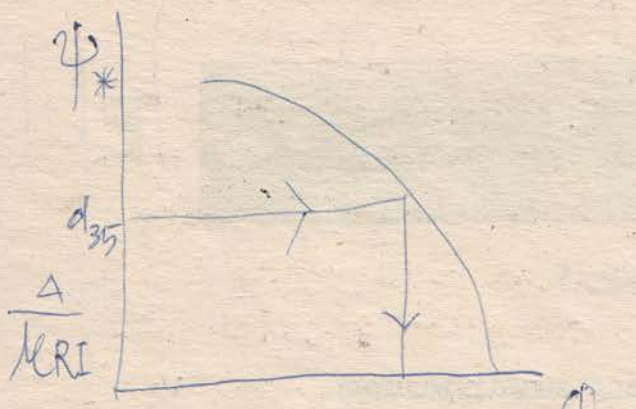
plain bed  $\mu = 1$



$$F(\varphi, \psi) = 0$$

Einstein's non dimensional.

$\varphi - \psi$  function



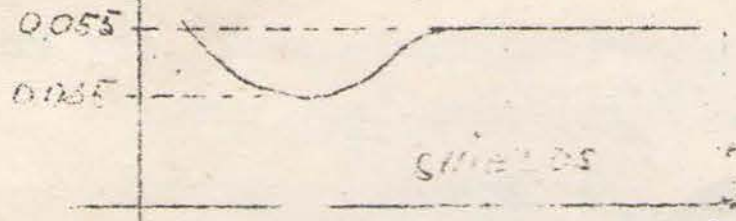
parameter intensitas aliran  
rumus ini dipakai  $d_{35}$

$$T_b = \text{bit chudara N/mdet}$$

$$\text{vol} = \frac{T_b}{\rho s g} m^3/mdet$$

$$= \frac{T_b}{\rho s d_{35} g} (\Delta g d_{35})^{-\frac{1}{2}}$$

$$M = \left( \frac{C}{C_{dgo}} \right)^{\frac{3}{2}}$$



Perbandingan  $\frac{k}{k_1}$  berkurang dengan berubahnya bentuk dasar. Ini berarti bahwa angkutan sedimen juga berkurang jika dasarnya bergetaran.

Umumnya  $\frac{k}{k_1} = 1,00 - 0,75$ , tetapi pernah juga didapat  $\frac{k}{k_1} = 0,50$ .

### E I N S T E I N

Konsepnya sangat complex, tetapi tiga prinsip ~~pentingnya~~ ~~pentingnya~~ adalah sangat mudah dengan adanya grafik-grafik yang belum sadjikan.

Einstein menetapkan persamaan bed-load sebagai "persamaan yang menghubungkan gerak bahan dasar dengan pengaliran setempat (local flow)". Persamaan itu melukiskan keadaan kesimbangan dari pada pertukaran butiran dasar antara lapisan dasar (bed-layer) dan dasarnya (pengendapan harus sama dengan gerusan).

Intensitas erosi diambil sebanding dengan jumlah butiran yang bebas (tidak terpendam) dipermukaan dasar tiap satuan luas dan sebanding dengan kemungkinan (probability) butiran itu untuk terangkat setiap detiknya. Kemungkinan pertukaran probability adalah dasar dari pada approach intensitas angkutan dan didefinisikan sebagai berikut :

Bagian dari waktu total selama waktu mana ditiap-tiap tempat kondisi pengaliran setempat menjebaknya saja angkut jauh tidak besar terhadap butiran gina mengangkatnya.

Menurut beliau p diperoleh dari perkalian berjajar pertukaran tiap detik dan waktu yang dibutuhkan untuk tiap pertukaran. Waktu pertukaran dianggap sebanding dengan waktu yang diperlukan oleh sebuah butiran untuk mengendap dalam air sejauh diameternya ( $\frac{d}{w}$ ). - waktu  $\rightarrow$  dg demikian utk pertama kali approach statistik digunakan dalam bed load

Lintasan rata-rata dari pada butiran dinjatakan =  $100 \times$  diameter butiran, dan tidak dipengaruhi oleh kondisi pengaliran, intensitas angkutan dan konfijurasi dasar. Hubungan antara kemungkinan suatu butiran akan terangkat dan intensitas angkutan bed-load telah didjabarkan dalam bentuk sebagai berikut :

$$\frac{p}{1-p} = A_* \phi_*$$

$A_*$  = coeffisien.

$$\phi_* = \frac{T_b}{\rho_s g} \left( \frac{\rho_w}{\rho_s + \rho_w} \right)^{1/2} \left( \frac{1}{g d^5} \right)^{1/2}$$

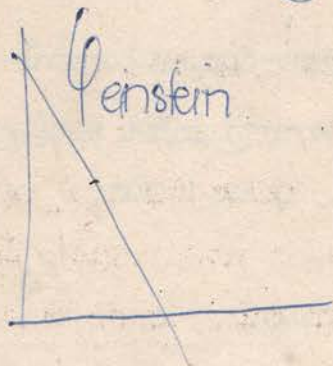
HIAFFAI

dimana  $\phi_*$  =  $\phi$  untuk butiran dengan  $d$  tertentu  
= intensitas angkutan bed-load

$T_b$  = intensitas angkutan bed-load dinjatakan sebagai berat sedimen  
di alam tiap satuan lahan dan tiap satuan waktu ( $\frac{N}{m^2 \text{ sec}}$ )

Kemungkinan  $p$  serupa dengan kemungkinan-gaya angkat dynamik (dynamic lift force)  
yang diperlukan pada butiran untuk melampaui berat butiran dalam fluida.

uttk rumus Frijlink  $\rightarrow S_{go}$



$\rightarrow d_{35}$  diganti  $d_{50}$

uttk ordonat Frijlink

$T_b$  diganti

$$T_b = \dots \text{ m}^3 / \text{m.det} \cdot \\ (\text{volum})$$

Dari pertjobaan-pertjobaan telah diperoleh hasil-hasil umum, misalnya :

- letak ketjepatan jang menentukan (dihitung dari dasar)
- faktor-faktor koreksi untuk dinding-dinding kasar, litjin dsb.

Gaya angkit dinjatakan sebagai fungsi jang mengandung parameter jang berubah dengan waktu ( $\eta$ ) dengan standard deviasi  $\eta_0$ . Dengan memakai hukum Gauss kemungkinan probability untuk gerak butiran dapat ditulis sebagai integral kemungkinan (integral probability) dengan batas-batas integrasi :  $\pm B * \psi_* - \frac{1}{\eta_0}$ , jang mengandung angka tak berdimensi  $\psi_*$ .

$$\psi_* = \frac{\rho_s - \rho_w}{\rho_w} \cdot \frac{d}{R' I}$$

$$R' = \mu R$$

$\psi_*$  = intensitas pengaliran.

$R'$  = radius hydraulik berhubungan dengan kekasaran butiran

$\mu$  = ripple factor

Untuk dasar dengan butiran sama:  $\phi_* = \phi$  dan  $\psi_* = \psi$

Konstante-konstante  $A_*$  dan  $B_*$  telah ditetapkan.

Dengan mengambil  $\frac{1}{\eta_0} = 2$  hubungan:  $\phi_* = f(\psi_*) \rightarrow S - 7 ..$

Pengetjekan dalam laboratorium memuaskan.

*dipaten Sg*  
FRIJLINK O.B.E. (1952)

Setelah perbandingan kedua rumus terlahulu ditambah djuga dengan rumus KALINSKE dan mengetjekna dengan pertjobaan-pertjobaan di prototype (alam), perhatian chusus diberikan kepada pengaruh konfigurasi dasar sungai terhadap intensitas angutan seperti telah disadari pula oleh M.P dan M; dengan memakai reduksi keniringan garis tenaga ( $I'$ ) dan oleh Einstein dengan memakai reduksi radius hydraulik ( $R'$ ). Perbandingan  $\frac{I'}{I}$  dan  $\frac{R'}{R} = \mu$  = ripple factor.

Berdasarkan rumus logarithmis untuk dinding jang hydraulik kasar :

$$\mu = \left( \frac{C}{C_{d_{90}}} \right)^{\frac{5}{2}} = \left( \frac{18 \log \frac{12 R}{k}}{18 \log \frac{12 R}{d_{90}}} \right)^{\frac{3}{2}}$$

$C = C$  Chezy sesungguhnya (termasuk grain + shape roughness)

$C_{d_{90}} = C$  Chezy karena grain roughness sadja dengan flat bottom  $d_{90}$

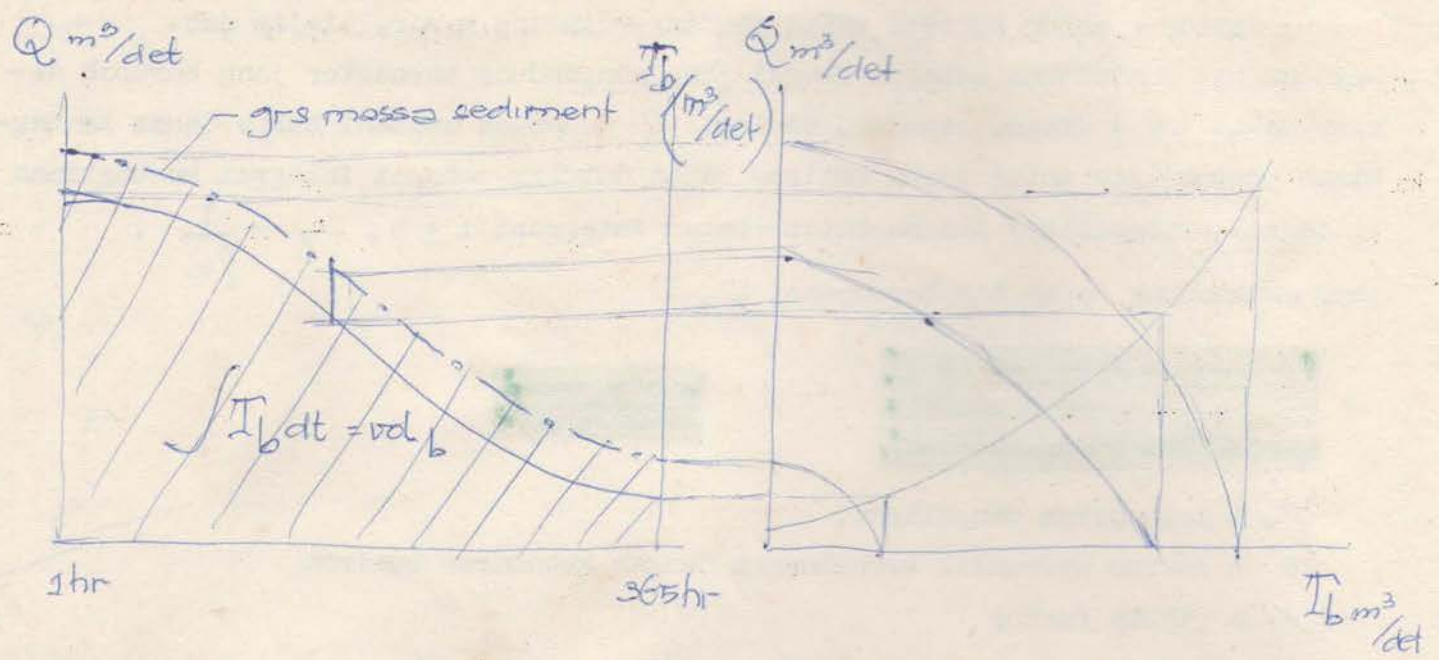
Untuk flat bottom :  $\mu = 1^{\frac{3}{2}} = 1$  ( $k' = d =$  dasar rata), Frijlink mengusulkan persamaan bed-loadnya sebagai berikut :

$$\frac{T_b}{d_m \sqrt{g \mu R I}} = 5 e^{-0,27} \frac{\rho_s - \rho_w}{\rho_w} \cdot \frac{d_m}{\mu R I}$$

$\rightarrow S - 9$

$$T_b = \left( \frac{m^3}{m \cdot det} \right)$$

djadi dalam volume



Nilai-nilai ripple factor ( $\mu$ ) yang diperoleh dalam maupun dalam saluran di laboratorium diperlihatkan dalam grafik S - 10.

Persamaan bed-load dari Frijlink dapat dituliskan sebagai berikut :

$$X = 5 Y^{-\frac{1}{2}} - 0,27 Y$$

$$X = \frac{T_b}{d_m^{3/2} \sqrt{\sigma \Delta}} = \text{parameter bed-load.}$$

$$Y = \frac{\Delta d}{\mu R I} = \text{parameter pengaliran.}$$

$$\Delta = \frac{\rho_s - \rho_w}{\rho_w} = \text{apparent relative density}$$

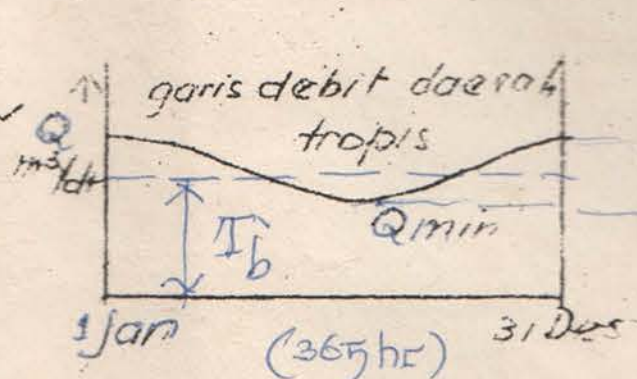
$$T_b = \frac{m^3}{m \cdot \text{det.}} \quad m^3/m \cdot \text{det.}$$

Perbandingan antara persamaan-persamaan bed-load dari M. P dan M. Kalinske, Einstein dan Frijlink, telah diberikan dalam bentuk grafik — lihat S - 8, dimana  $T_b$  dinjatakan dalam volume tiap satuan lebar tiap satuan waktu.  
( S - 8 jangan dipakai, pakai saja S - 9 )

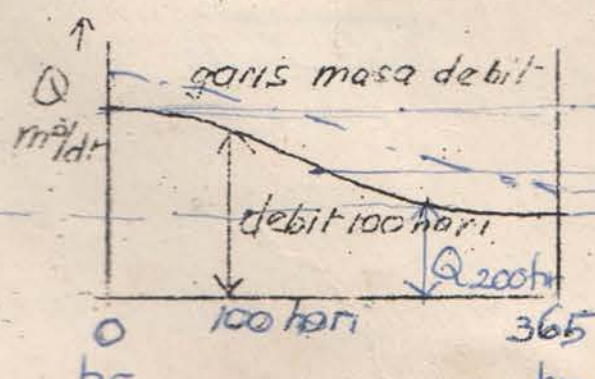
### Angkutan sedimen ijangka panjang disatu sungai

Persamaan-persamaan tersebut diatas hanya berlaku pada kondisi-kondisi permanen. Di sungai-sungai sebenarnya terdapat fluktiasi musim dan bed-load total adalah integrasi dari angkutan sedimen sepanjang waktu tertentu.

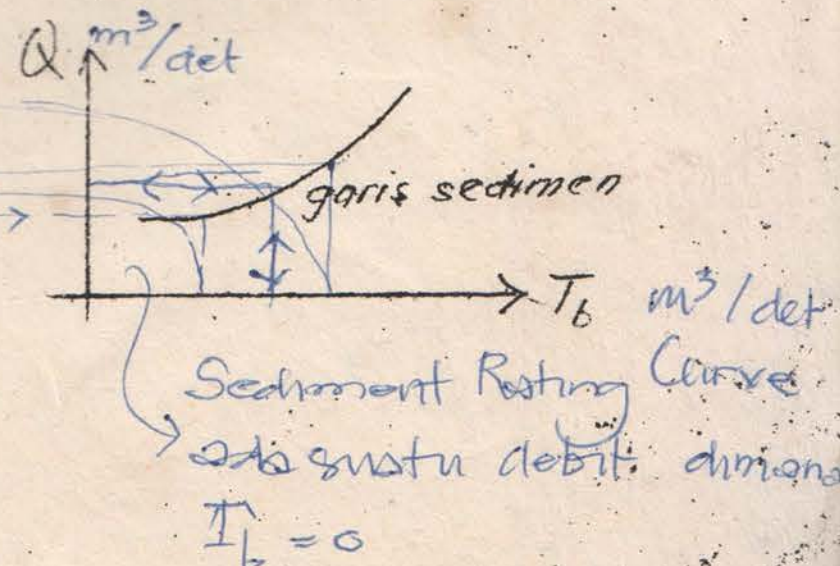
Approach terbaik guna memahami intensitas angkutan adalah dengan mempergunakan analisa statistik dari pada data pengaliran. Untuk itu diandjurkan memakai garis masa debit (flow duration curve) yang jika dikombinasikan dengan garis sedimen (ialah garis yang menghubungkan debit dan angkutan sedimen pada kondisi-kondisi permanen) akan diperoleh jumlah sedimen yang diangkut seluruhnya. Jika mungkin supaya dikoreksi berhubungan dengan pengaruh-pengaruh musim. Umumnya sebagian besar sedimen yang diangkut sungai, diangkut oleh debit yang melebihi debit median. (debit median = median discharge =  $Q_m$ ). Dalam hal tersebut diperlukan approach yang teliti dan pentjataatan-pentjataatan harus meliputi jangka waktu yang lama. Harus diakui bahwa pengalaman dalam hal tersebut masih kurang.



$$T_b = T_b \times 1 \text{ th}$$



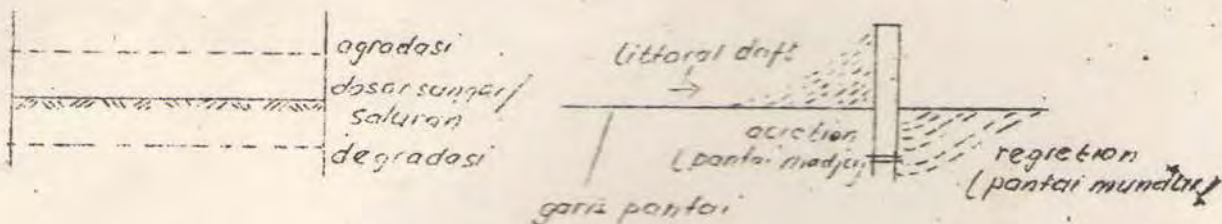
Flow Duration Curve  
berjalan dalam analisis:  
dlm x hr pola tdk  
disamai



Sediment Rating Curve  
satu satuan debit. dimana  
 $T_b = 0$

VIII. DEGRADASI SIGERUSAN (SCOUR) DAN ENDAFAN (SILTING)

Dalam effek keseluruhanja mungkin terjadi gerusan ataupun endapan. Yang disaksui dalam hal ini ialah : "degradasi" dan "agradasi" untuk sungai atau saluran - saluran atau "regressi" dan "inkressi" untuk pantai.



Fenomena lain adalah gerusan dan endapan setjara timbal balik.

Gerusan (erosi) disuntū tempat akan mengakibatkan endapan (deposisi) dilain tempat. Fenomena ini mungkin merupakan sebagian dari pada proses pengangkutan sedimen jang setjara kesaluruhannja selah mentjapai status keseimbangan. Misalnya sungai - sungai jang bermeander (belok - belok) atau sungai jang dipengaruhi pa-sang surut. Bila keadaan seimbang dalam alam diganggu dapat diharapkan (bila tidak diambil tindakan - tindakan sewadjamja) bahwa situasi akan berubah. Ditindjau dari sudut ini setiap perubahan buatan pada sungai memerlukan perentjanaan jang teliti untuk memperoleh penyelesaian jang memuaskan, jang berupa keadaan seimbang djuga.

Persoalan - persoalan lain adalah gerusan - gerusan setempat dalam tanah - tanah alluvial disebabkan karena pemusatan tenaga oleh bangunan - bangunan buatan (local scour). Endapan setempat (sedimentasi) disebabkan karena pengurangan ketajaman air (reservoir) dan endapan sedimen jang disengadja (kolam pengendapan) untuk mentjegah pemasukan sedimen kedalam saluran pengairan, pipa - pipa pesut (pen - stock) dan lain - lainnya. Semua persoalan tersebut hanya dapat dipetjahkan setjara memuaskan dengan pengetahuan dasar setjukupnya tentang pengangkutan sedimen. Adalah sulit untuk mengetahui dengan tepat perubahan hubungan timbal balik antara aliran dan dasar selama perubahan lambat laun dari pada dasar sungai. Dan lebih sulit lagi bila ditindiau setjara 3 dimensional.

Karena sebab-sebab tersebut diatas, penelitian model dalam laboratorium hydrolik akan merupakan alat yang ampuh untuk memecahkan persoalan-persoalan tersebut diatas.